

电子电路基础C

是电子技术入门性质的技术基础课

授课老师：文凤

书山有路勤为径
学海无崖苦作舟

第3章 放大电路的频率响应

主要内容

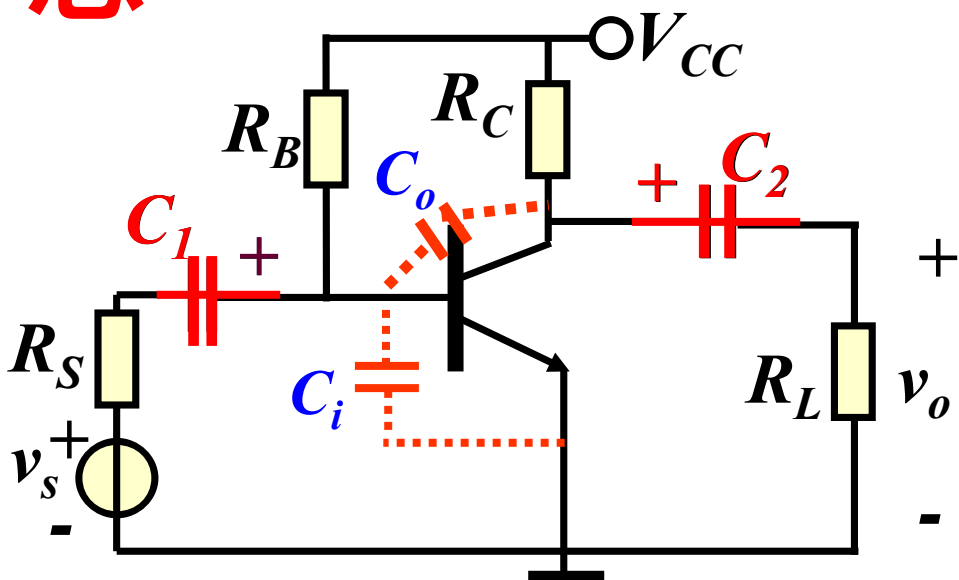
第5.1节 频率响应的一般概念

第5.2节 单管共射放大电路的频率响应

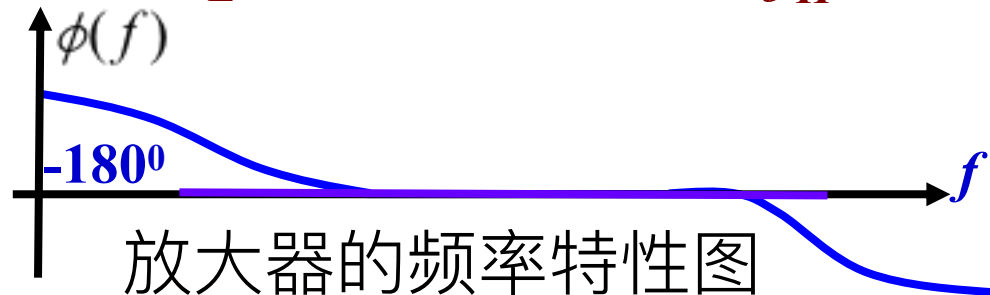
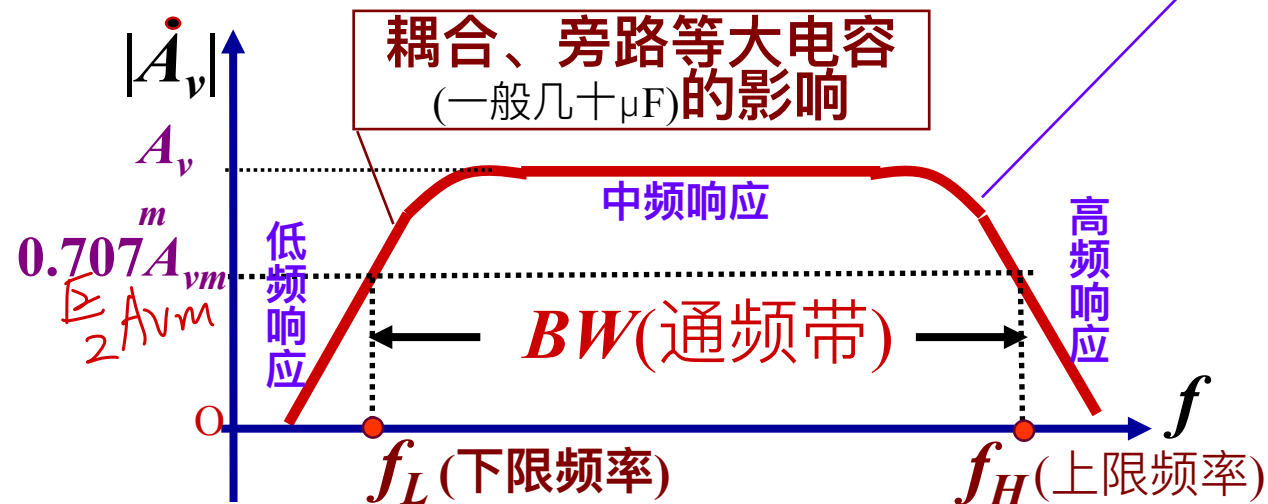
第5.3节 多级放大器的频率特性

3.1 放大器的一般概念

放大器的频率特性



极间电容、分布电容等小电容(几pF~几十pF)的影响



放大器的频率特性图

通频带: $BW = f_H - f_L$

A 与 f 间的关系为:

$$\dot{A}_v = \frac{A_{vm}}{(1 - j \frac{f_L}{f})(1 + j \frac{f}{f_H})}$$

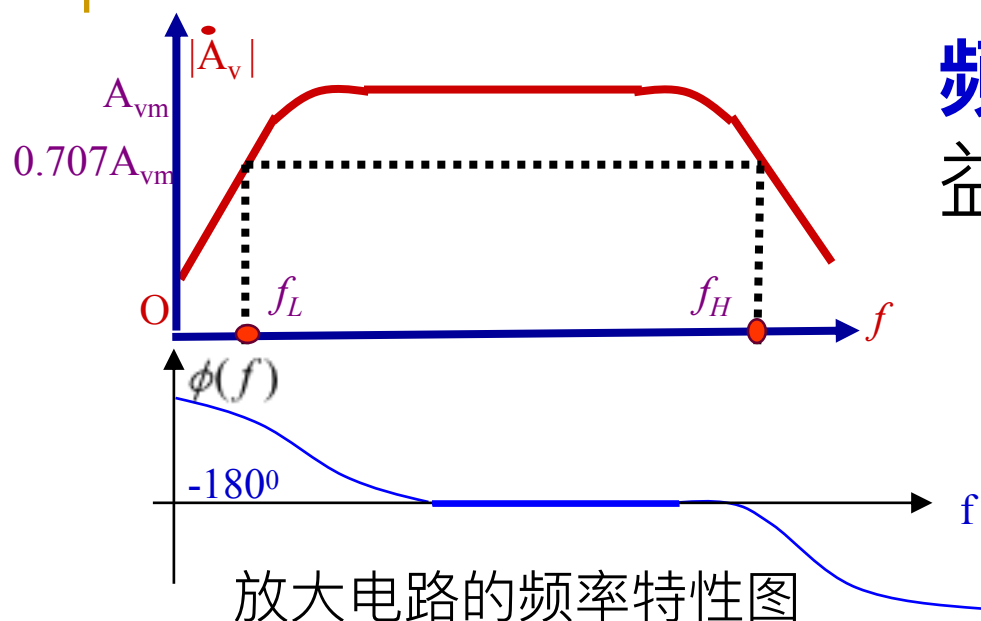
高通因子 低通因子

低频段: 耦合电容 C_1 、 C_2 (阻抗 $\neq 0$ 不忽略)
管子极间电容 C_i 、 C_o (阻抗 $\rightarrow \infty$ 忽略)
隔直电容构成RC高通电路,
 A 将随 $f \downarrow$ 而 \downarrow 产生低频失真。

中频段: 耦合电容 C_1 、 C_2 (阻抗 ≈ 0 忽略)
管子极间电容 C_i 、 C_o (阻抗 $\rightarrow \infty$ 忽略)
各容抗的影响可忽略, A =常数(与 f 无关)

高频段: 耦合电容 C_1 、 C_2 (阻抗 ≈ 0 忽略)
管子极间电容 C_i 、 C_o (阻抗 $\rightarrow \infty$ 不忽略)
极间电容构成RC低通电路,
 A 将随 $f \uparrow$ 而 \downarrow , 产生高频失真。

频率响应的基本概念：幅频特性和相频特性



频率特性(也称频率响应)：放大器的增益 A 随信号频率的改变而改变的特性。

放大器的频率特性反映了放大器对不同频率的信号适应能力。

对输入信号各频率分量不同等放大，则输出会产生**幅度失真**。
对输入信号各频率分量的时延不同，则输出会**相位失真**。
放大器增益在稳态情况应采用复数表达：

$$\dot{A}(jf) = |\dot{A}(jf)| e^{j\varphi_A(f)} = A(f) e^{j\varphi_A(f)}$$

其中 $\left\{ \begin{array}{l} A(f) : \text{是放大器对不同频率} f \text{ 信号幅度的放大倍数，它是频率的函数，它与频率之间的关系称为} \textbf{幅频特性}； \\ \varphi(f) : \text{是放大器对不同频率} f \text{ 信号产生的相移，它也是频率的函数，它与频率之间的关系称为} \textbf{相频特性}； \end{array} \right.$

波特图 系统频率特性分析步骤

波特图：

放大器频率特性直接影响输出信号的质量及对放大器的稳定性。
放大器的频率特性可用频率特性图(幅频特性、相频特性图) 来表示。

用半对数坐标画出的频率特性图称为波特图：

{ 将增益的dB数作纵坐标
将频率的对数作横坐标 } 作幅频特性波特图

结合P₁₂₇习题5-1

dB数=20lg倍数

A_u	0.01	0.1	0.707	1	$\sqrt{2}$	2	10	100
$20\lg A_u(dB)$	-40	-20	-3	0	3	6	20	40

倍数 = $10^{\frac{dB数}{20}}$

{ 将频率的对数作横坐标
将相位等刻度作纵坐标 } 作相频特性波特图

不同用途的放大器对频率失真具有不同的要求：

{ 对音频放大器：要求较好的幅频特性
对图象放大器：要求幅频特性、相频特性都好

0Hz \Rightarrow 直流分量

返回

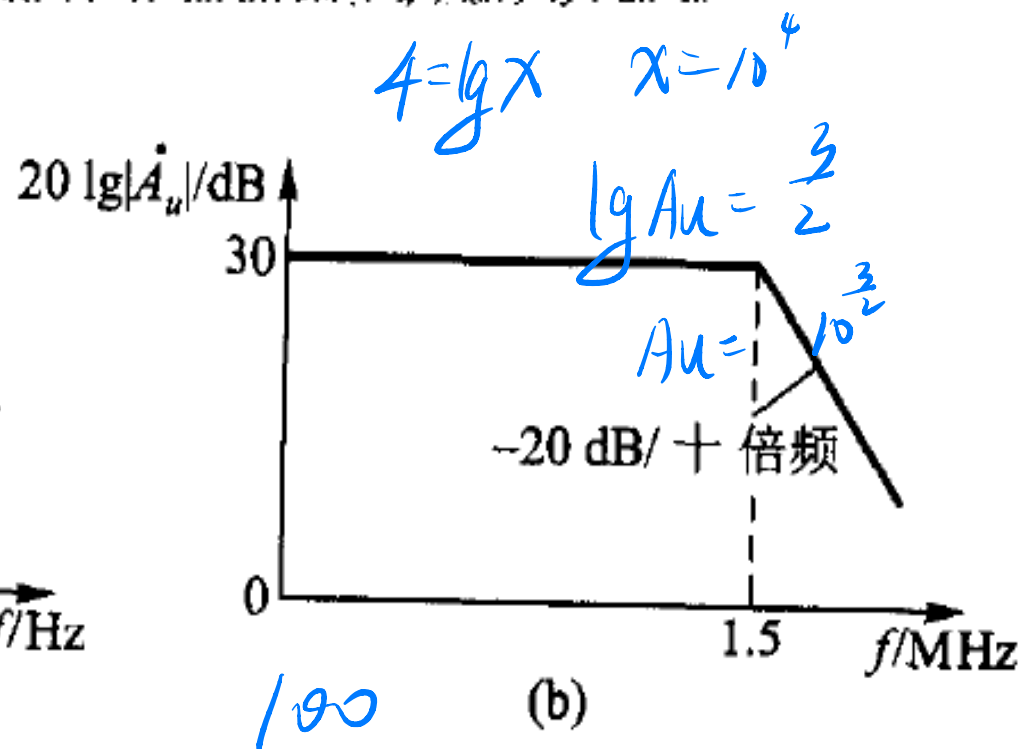
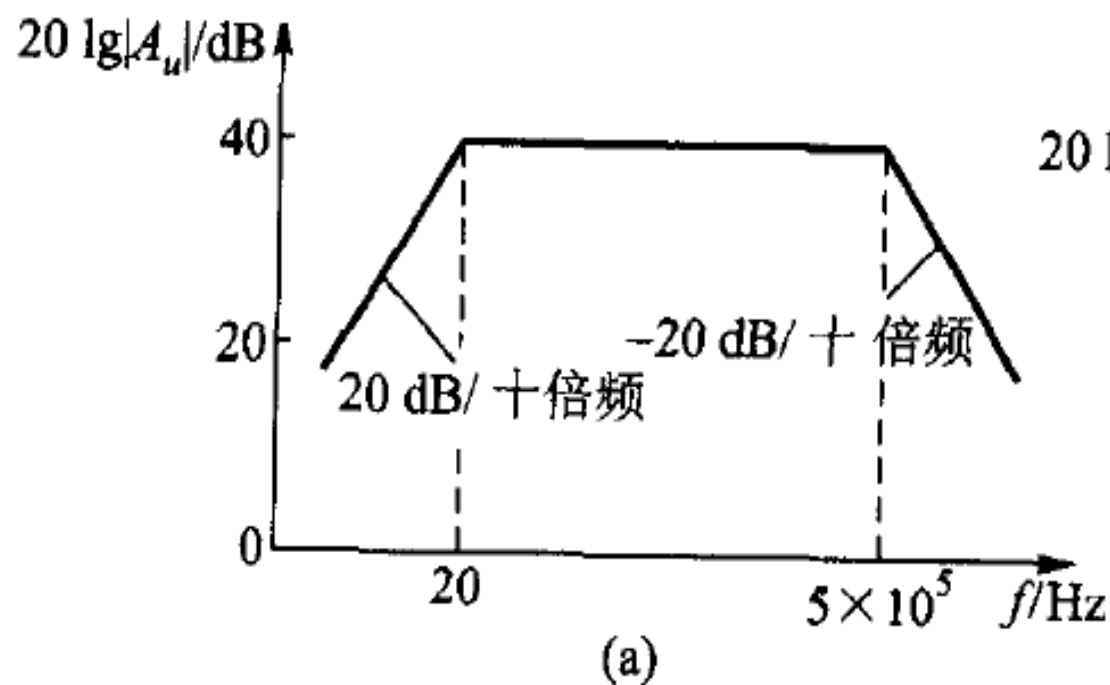
例题:

$$20 \lg 100 = 20 \lg 10^2 = 40$$

若某一放大电路的电压放大倍数为100倍,则其对数电压增益是多少分贝?

另一放大电路的对数电压增益为 80 dB,则其电压放大倍数是多少?

假设两个单管共射放大电路的对数幅频特性分别如图 (a) 和 (b) 所示



- ① 分别说明两个放大电路的中频电压放大倍数 $|A_{um}|$ 各等于多少, 下限频率 f_L 、上限频率 f_H 和通频带 BW 各等于多少;
- ② 试判断两个放大电路分别采用何种耦合方式(阻容耦合还是直接耦合);
- ③ 分别示意地画出两个放大电路相应的对数相频特性。

二、系统频率特性分析一般步骤:

1) 写出系统(如放大电路)稳态响应函数表达式 $A(j\omega)$

从系统的观点看, 小信号放大器为线性时不变系统。

$$A(j\omega) = \frac{\dot{Y}(j\omega)}{\dot{X}(j\omega)} = H_0 \frac{(j\omega - z_1)(j\omega - z_2) \cdots (j\omega - z_m)}{(j\omega - p_1)(j\omega - p_2) \cdots (j\omega - p_n)} = A_1 e^{j\varphi_1} A_2 e^{j\varphi_2} \cdots A_{n+m+1} e^{j\varphi_{n+m+1}} = A(\omega) e^{j\varphi(\omega)}$$

式中: 标尺因子 $H_0 = b_m/a_n$, z 为零点, p 为极点。 ($m \leq n$)

2) 绘制渐近波特图

$\varphi(\omega) = \varphi_1 + \varphi_2 + \cdots + \varphi_{n+m+1}$ 即系统总相位为各个因子相位的代数和

$$A(\omega)(dB) = 20\lg(A_1 A_2 \cdots A_{n+m+1}) = 20\lg A_1 + 20\lg A_1 + 20\lg A_2 + \cdots + 20\lg A_{n+m+1}$$

即系统的总的dB数为各个因子的dB数的代数

画系统的幅频 (或相频) 特性图时: 只要将各个因子的幅频 (或相频) 特性波特图在同一坐标中画出来, 然后进行线性叠加即可

3) 确定上、下限角频率

常见因子波特图的画法

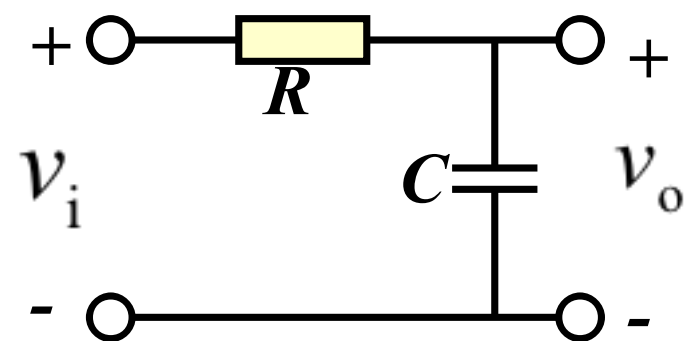
三、稳态响应函数中基本因子的波特图

□ RC 低通电路频率响应

□ 由图得稳态响应函数表达式：

$$A_v(j\omega) = \frac{v_o}{v_i} = \frac{1/(j\omega C)}{R + 1/(j\omega C)} = \frac{1}{1 + j\omega/\omega_p}$$

式中 $\omega_p = 1/\tau$ ，时间常数 $\tau = RC$



$$A_v(j\omega) = \frac{1}{1 + j\omega/\omega_p} = A_v(\omega)e^{j\phi(\omega)} \Rightarrow \left\{ \begin{array}{l} \text{幅值: } A_v(\omega) = \frac{1}{\sqrt{1 + (\omega/\omega_p)^2}} \\ \text{或 } A_v(\omega)|_{dB} = -20\lg \sqrt{1 + (\omega/\omega_p)^2} \\ \text{相角: } \varphi_A(\omega) = -\arctan(\omega/\omega_p) \end{array} \right.$$

□ 绘制渐进波特图：

□ 确定上、下限频率

上限频率： $\omega_H = \omega_p = 1/RC$

下限频率： $\omega_L = 0$

绘制渐进波特图（低通）

根据 $\begin{cases} A_v(\omega)|_{dB} = -20\lg\sqrt{1+(\omega/\omega_p)^2} \\ \varphi_A(\omega) = -\arctan(\omega/\omega_p) \end{cases}$ \Rightarrow 画出幅频波特图 \Rightarrow 画出相频波特图

渐近波特图画法：

✓ 幅频

$\omega = \omega_p$ 时, $A_v(\omega)|_{dB} = -3dB \approx 0dB$

$\omega \ll \omega_p$ 时, $A_v(\omega)|_{dB} \approx 0dB$

$\omega \gg \omega_p$ 时, $A_v(\omega)|_{dB} \approx -20\lg\frac{\omega}{\omega_p}$

当 $\omega = 10\omega_p$ 时, $A_u(\omega) \approx -20dB$

当 $\omega = 100\omega_p$ 时, $A_u(\omega) \approx -40dB$

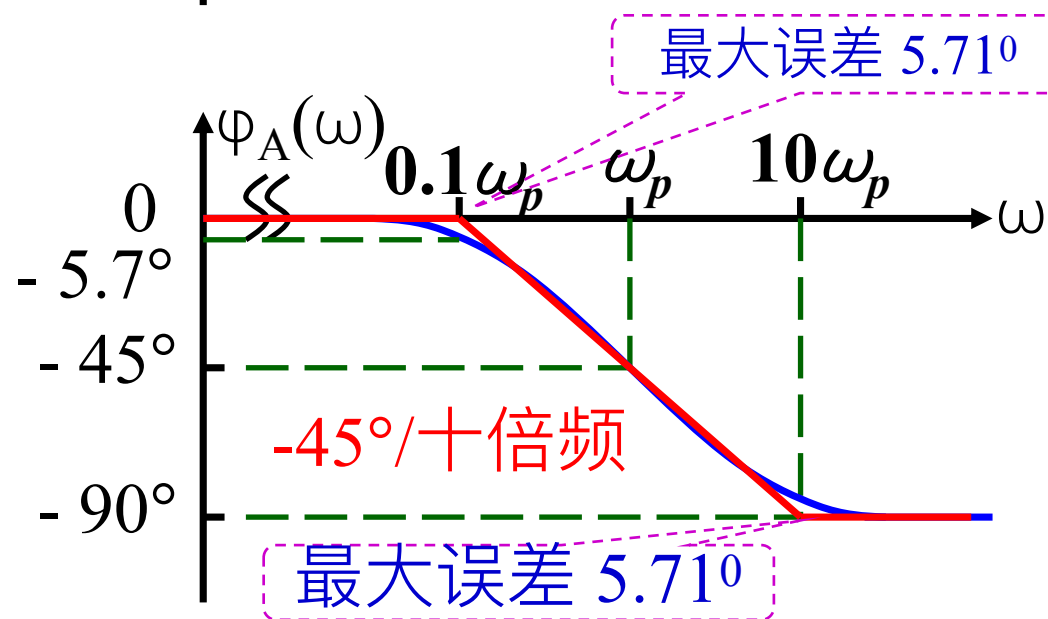
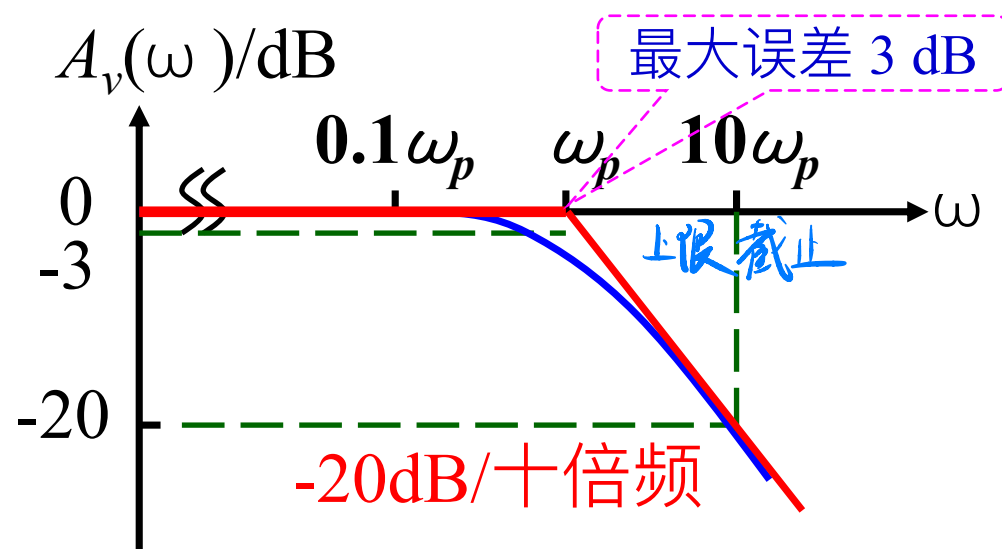
✓ 相频 10倍频, 下降 20dB

$\omega = \omega_p$ 时, $\varphi_A(\omega) \approx -45^\circ$

$\omega < 0.1\omega_p$ 时, $\varphi_A(\omega) \approx 0^\circ$

$\omega > 10\omega_p$ 时, $\varphi_A(\omega) \approx -90^\circ$

10倍频, 下降 45°



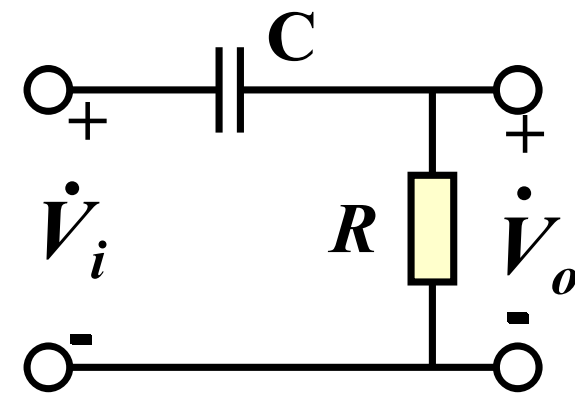
返回

RC高通电路

RC 高通电路频率响应

由图得稳态响应函数表达式：

$$A_v(j\omega) = \frac{\dot{V}_o(j\omega)}{\dot{V}_i(j\omega)} = \frac{R}{R + 1/(j\omega C)} = \frac{1}{1 - j\omega_p / \omega}$$



式中 $\omega_p = 1/\tau$ ，时间常数 $\tau = RC$

$$A_v(j\omega) = \frac{1}{1 - j\omega_p / \omega} = A_v(\omega)e^{j\phi(\omega)} \Rightarrow \begin{cases} \text{幅值: } A_u(\omega)|_{\text{dB}} = -20 \lg \sqrt{1 + (\omega_p / \omega)^2} \\ \text{相角: } \varphi_A(\omega) = \arctan(\omega_p / \omega) \end{cases}$$

绘制渐进波特图：

上限、下限角频率：

上限频率： $\omega_H \rightarrow \infty$ 下限频率： $\omega_L = \omega_p = 1/RC$

其他因子的波特图

绘制渐进波特图(高通)

根据 $\begin{cases} A_u(\omega)|_{dB} = -20 \lg \sqrt{1 + (\omega_p/\omega)^2} \\ \varphi_A(\omega) = \arctan(\omega_p/\omega) \end{cases}$ \Rightarrow 画出幅频波特图
 \Rightarrow 画出相频波特图

✓ 幅频渐近波特图

· 因 $\omega = \omega_p$ 时, $A_u(\omega)|_{dB} = -3dB \approx 0dB$

$\omega > \omega_p$: 0dB水平线;

$\omega < \omega_p$: 斜率为(20dB/十倍频)的直线。

当 $\omega = 0.1\omega_p$ 时, $A(\omega) \approx -20dB$

当 $\omega = 0.01\omega_p$ 时, $A(\omega) \approx -40dB$

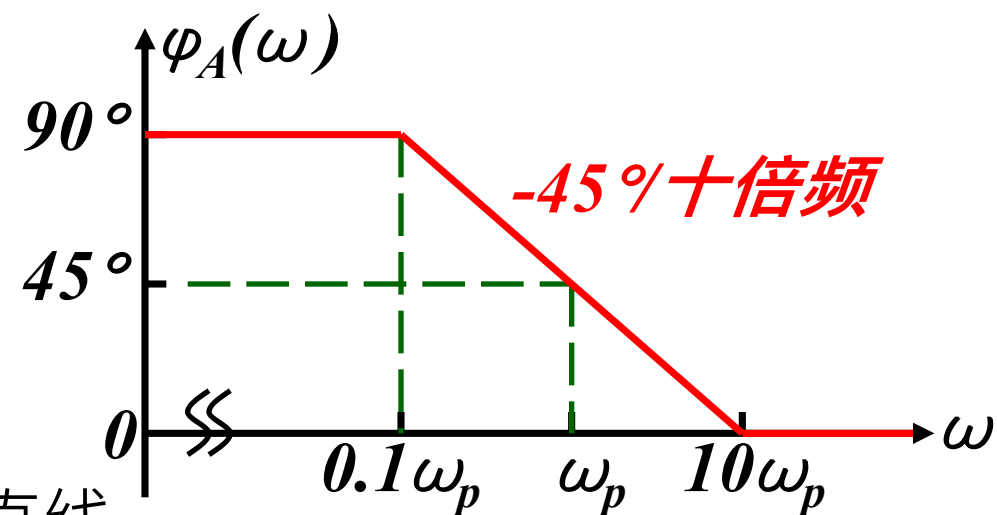
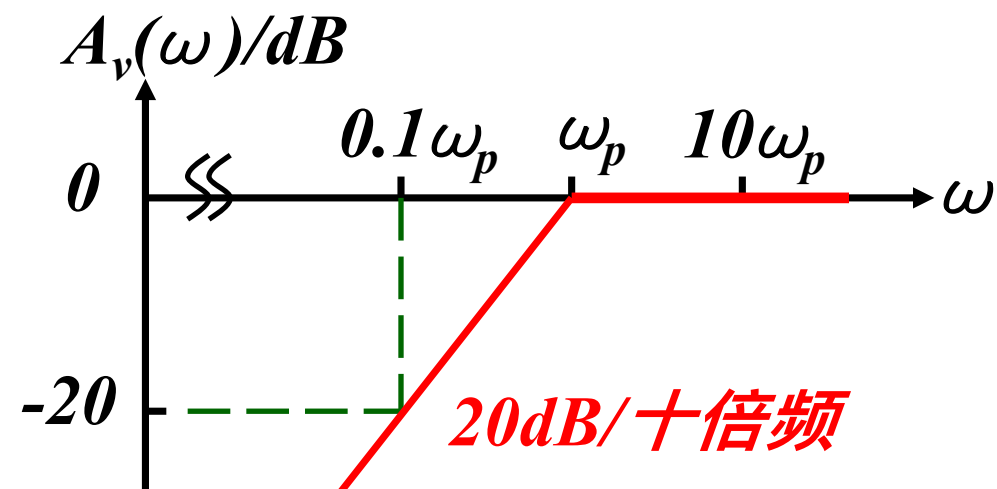
✓ 相频渐近波特图:

$\omega < 0.1\omega_p$: 90° 的水平线。

$\omega = \omega_p$: $\phi = 45^\circ$ 。

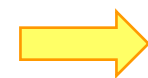
$0.1\omega_p < \omega < 10\omega_p$: 斜率为(-45° /十倍频)的直线。

$\omega > 10\omega_p$: 0° 水平线。



零点因子的波特图

$$A(j\omega) = 1 + j\omega/\omega_p = A(\omega)e^{j\varphi(\omega)}$$



$$\begin{cases} A(\omega) = 20 \lg \sqrt{1 + (\omega/\omega_p)^2} \\ \varphi(\omega) = \arctan \frac{\omega}{\omega_p} \end{cases}$$

当 $\omega \gg \omega_p$ 时, $A(\omega) \approx 20 \lg \frac{\omega}{\omega_p} \text{ dB}$

当 $\omega = \omega_p$ 时, $A(\omega) = -3 \text{ dB}$

当 $\omega \ll \omega_p$ 时, $A(\omega) \approx 0 \text{ dB}$

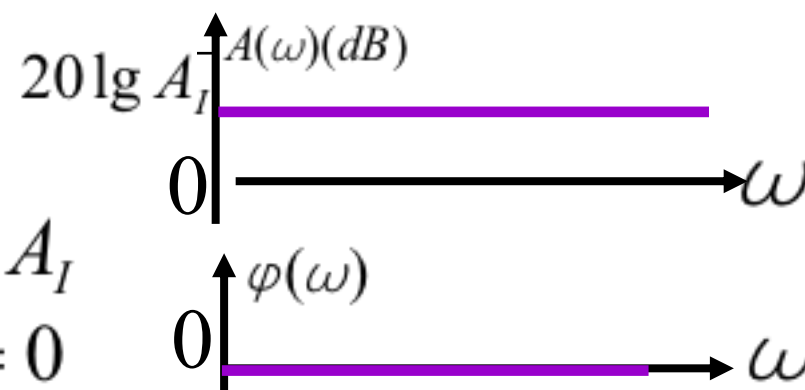
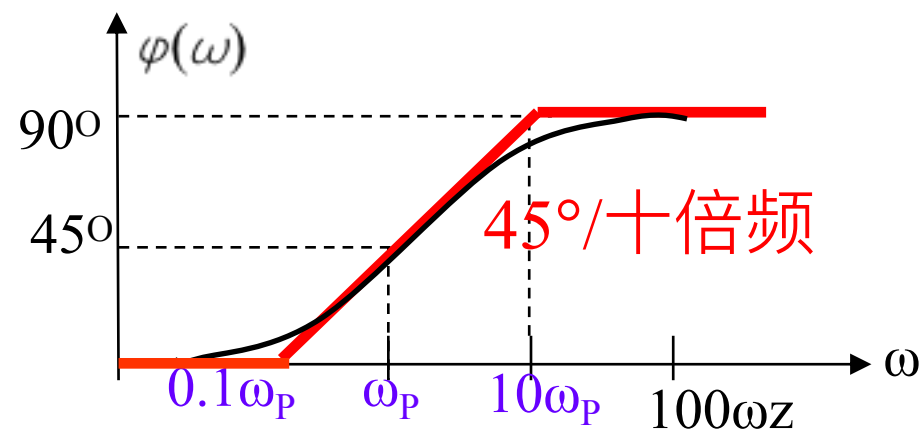
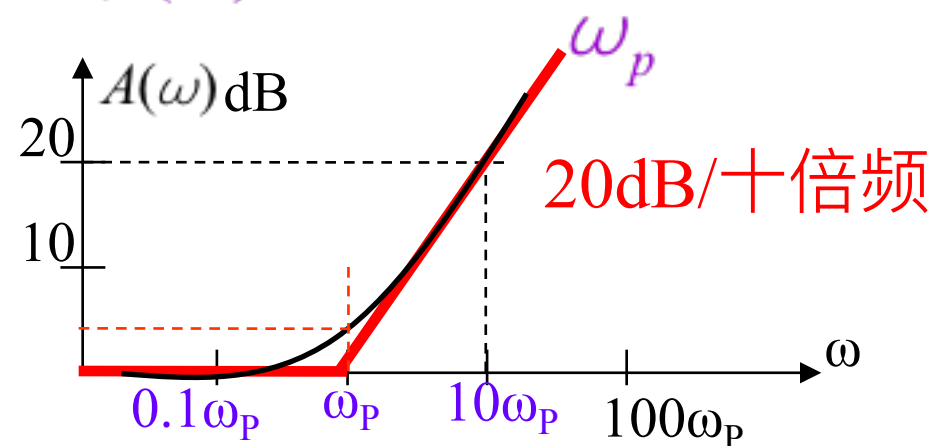
当 $\omega = 10\omega_p$ 时, $A(\omega) \approx 20 \text{ dB}$

当 $\omega = 100\omega_p$ 时, $A(\omega) \approx 40 \text{ dB}$

当 $\omega \leq 0.1\omega_p$ 时, $\varphi(\omega) \approx 0$

当 $\omega = \omega_p$ 时, $\varphi(\omega) = 45^\circ$

当 $\omega \geq 10\omega_p$ 时, $\varphi(\omega) \rightarrow 90^\circ$



常数因子的波特图:

$$A(j\omega) = A_I = A(\omega)e^{j\varphi(\omega)}$$



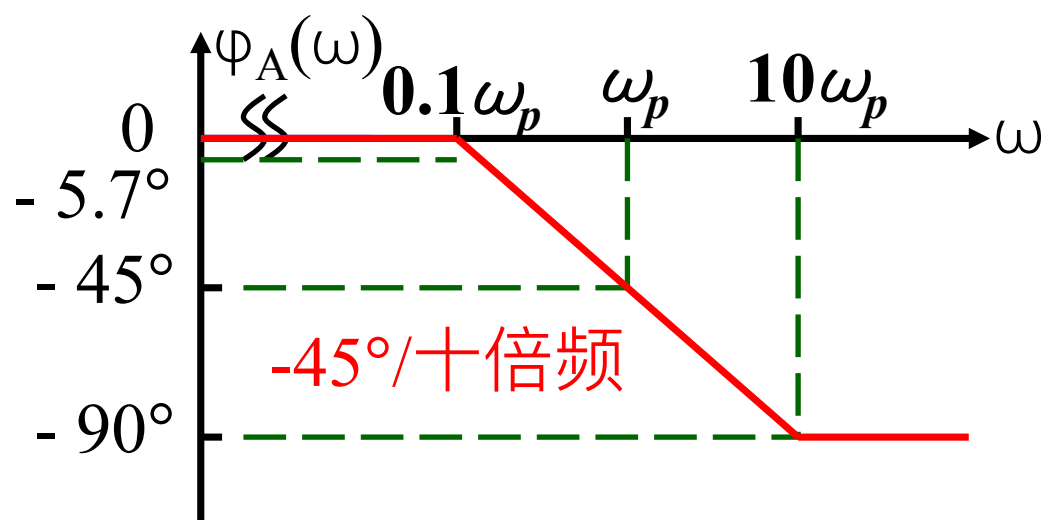
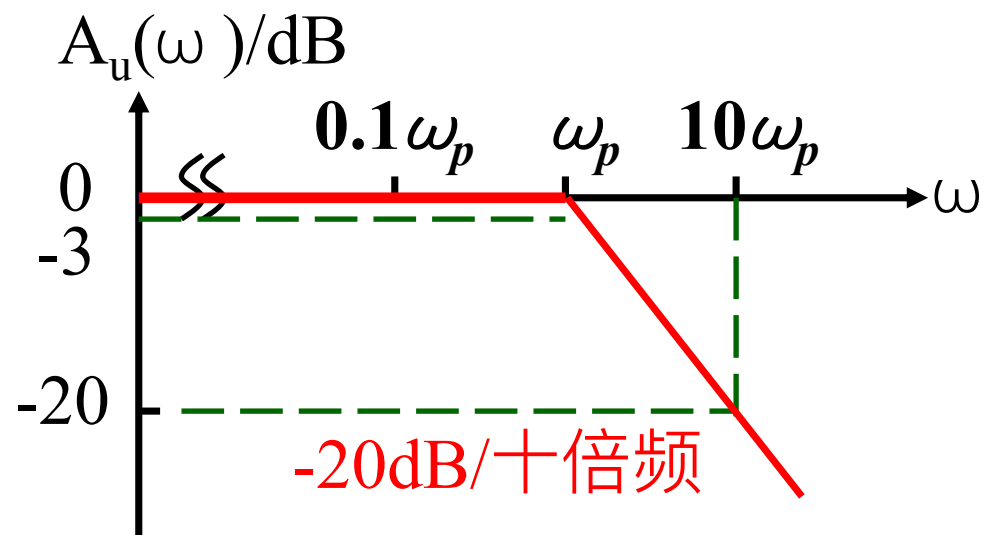
$$\begin{cases} A(\omega) = A_I \\ \varphi(\omega) = 0 \end{cases}$$

反相 $\varphi(\omega) = \pm\pi$

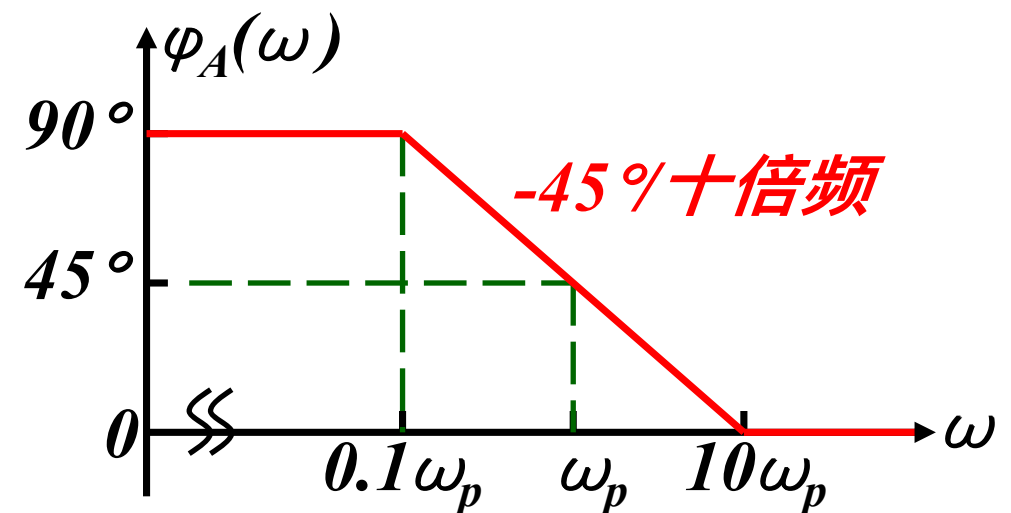
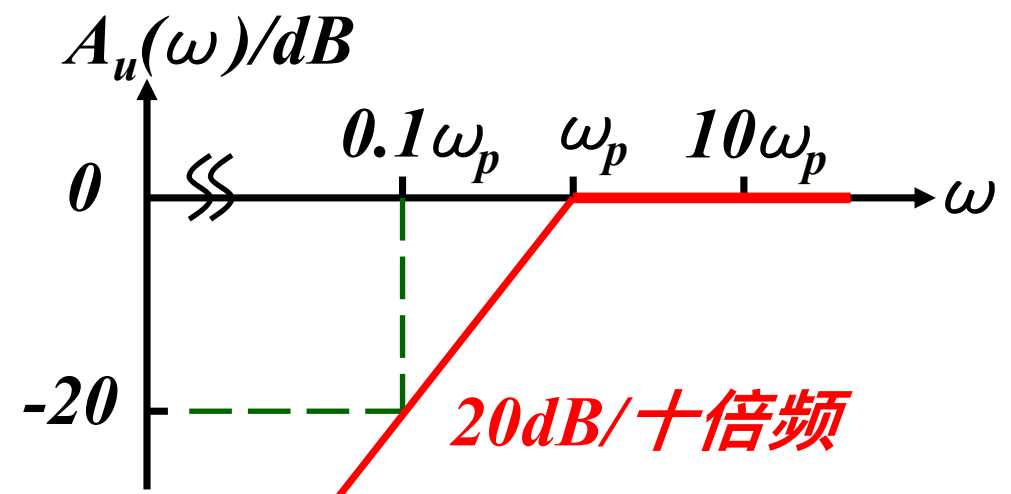
习题3-6

常见因子波特图（复习）

$$A_u(j\omega) = \frac{1}{1 + j\omega/\omega_p} = A_u(\omega)e^{j\varphi(\omega)}$$



$$A_u(j\omega) = \frac{1}{1 - j\omega_p/\omega} = A_u(\omega)e^{j\varphi(\omega)}$$



返回

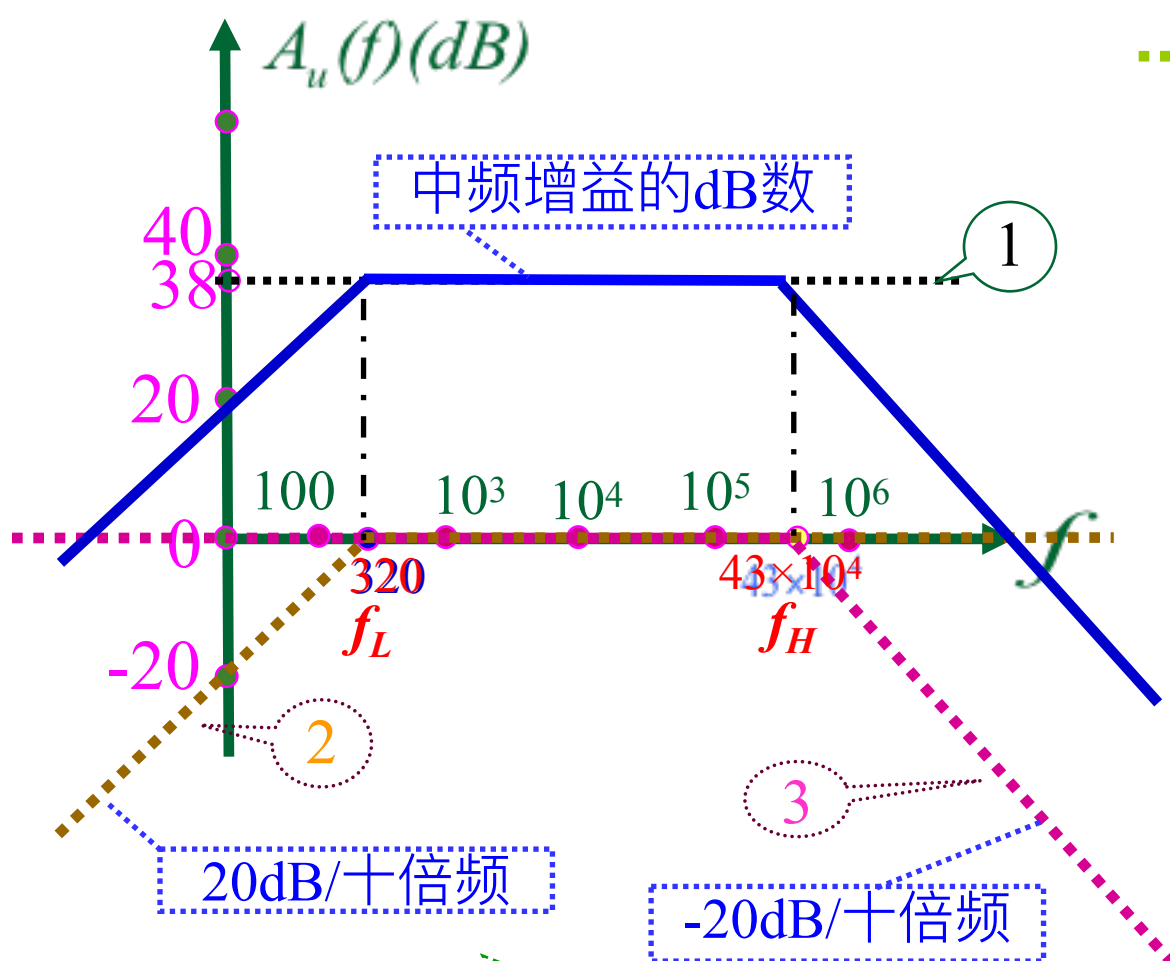
例题: 已知某单管共射放大电路电压放大倍数的表达式:

作业: P₁₂₇习题5-3

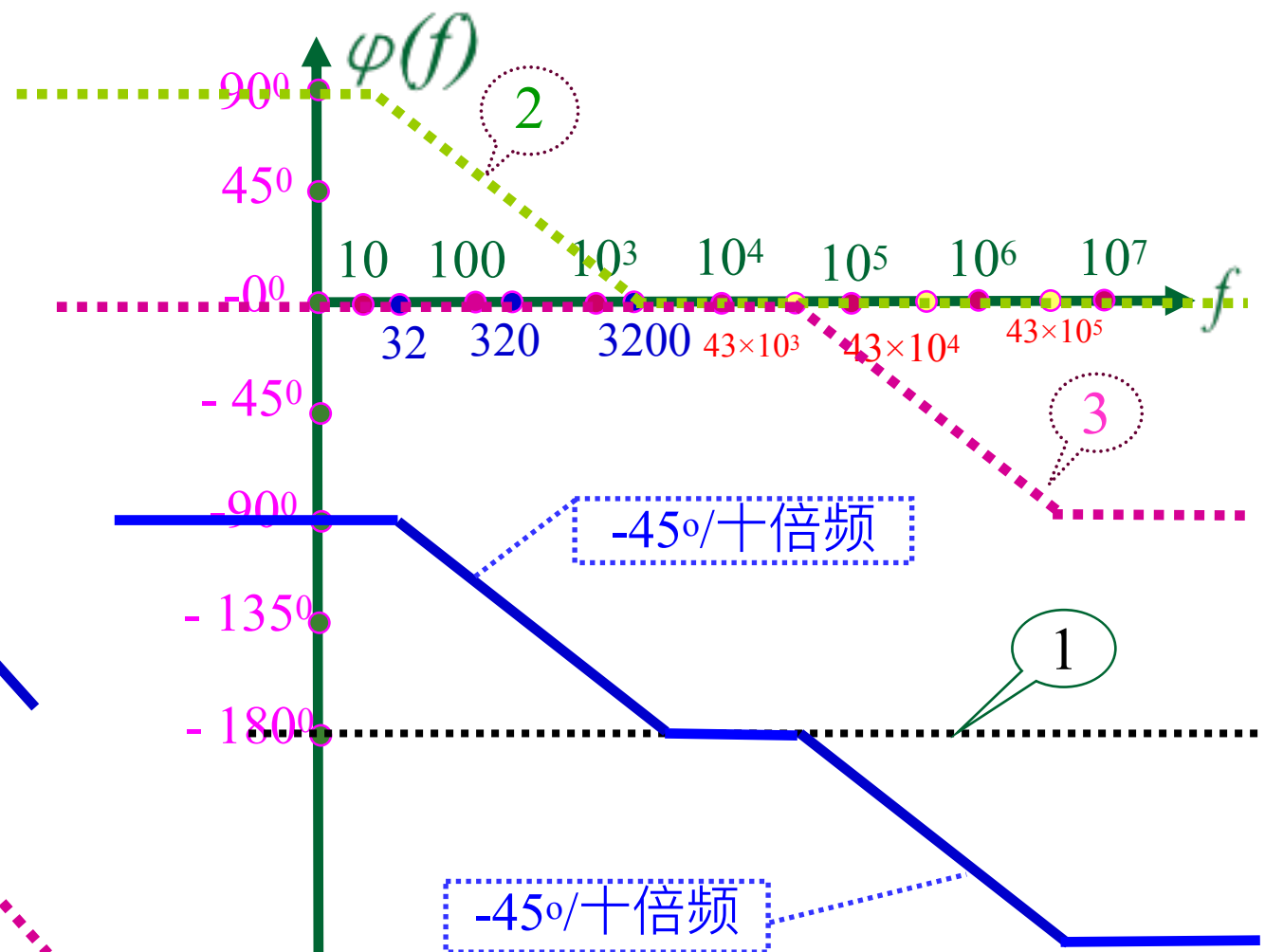
解:
$$\dot{A}_u = -80 \frac{1}{(1 - j\frac{320}{f})(1 + j\frac{f}{43 \times 10^4})} = -80 \cdot \frac{1}{1 - j\frac{320}{f}} \cdot \frac{1}{1 + j\frac{f}{43 \times 10^4}}$$

1 2 3

幅频特性波特图:



相频特性波特图:



放大电路的频率响应

P₁₂₇习题5-2题：

$$A(s) = \frac{10^6(5+s)}{10(10+s)(10^2+s/2)}$$

解：1. 令 $s = j\omega$ ，则频率特性表达式及标准形式为

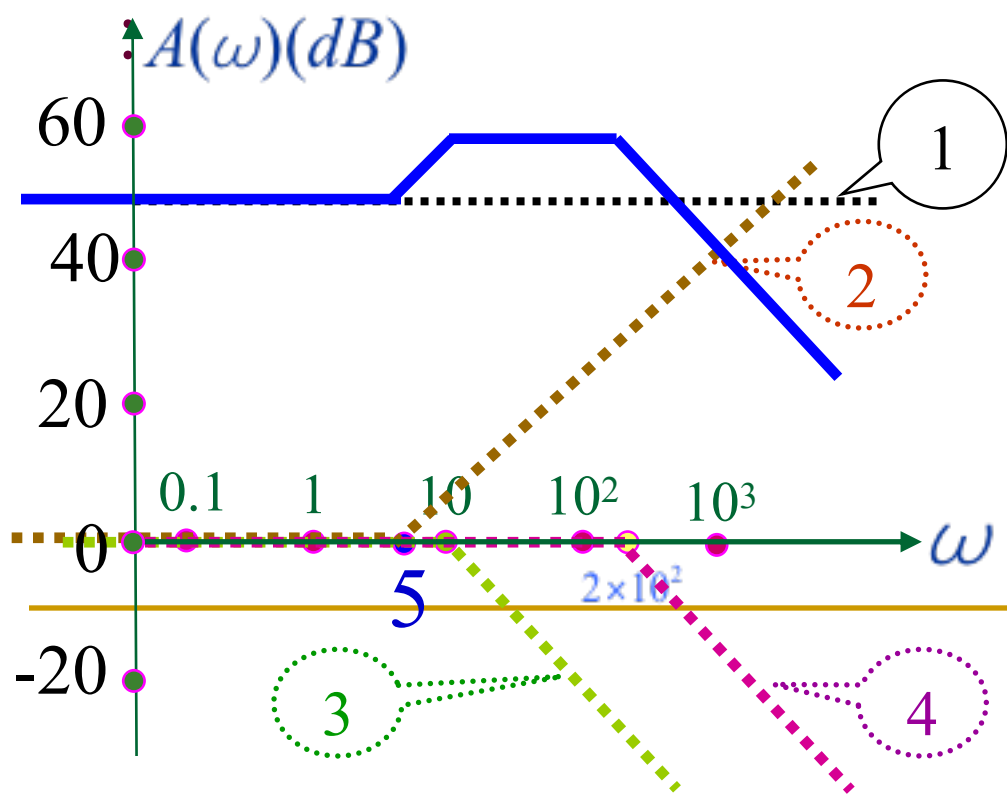
$$A(j\omega) = \frac{10^6(5+j\omega)}{10(10+j\omega)(10^2+j\omega/2)} = \frac{5 \times 10^6(1+j\omega/5)}{10 \times 10 \times 10^2(1+j\omega/10)(1+j\omega/2 \times 10^2)}$$

$$= \underbrace{5 \times 10^2}_{1} \cdot \underbrace{(1+j\omega/5)}_{2} \cdot \underbrace{\frac{1}{1+j\omega/10}}_{3} \cdot \underbrace{\frac{1}{1+j\omega/2 \times 10^2}}_{4}$$

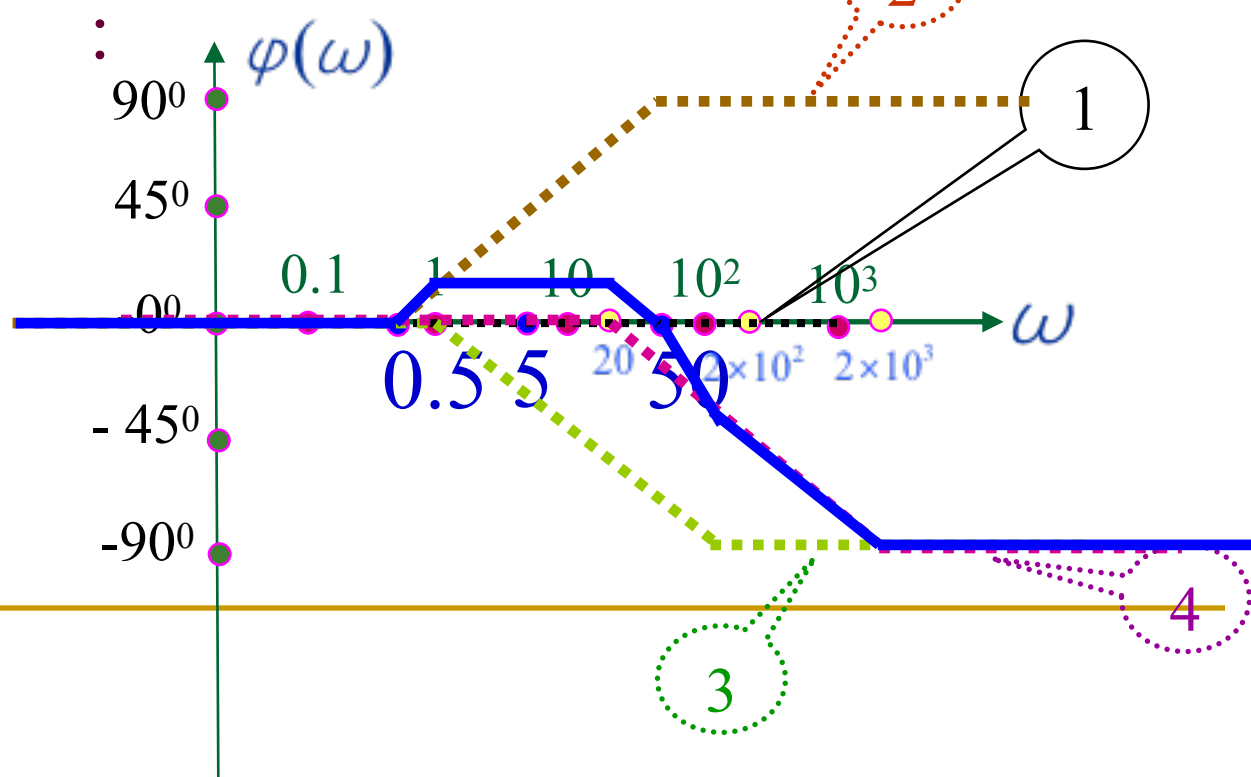
波特图与常见因子中的转折频率 ω_p 、 $0.1\omega_p$ 、 $10\omega_p$ 相关，则在图中的横坐标上先将它们标出来。

2、根据传递函数画出其频率特性渐进波特图

幅频特性波特图



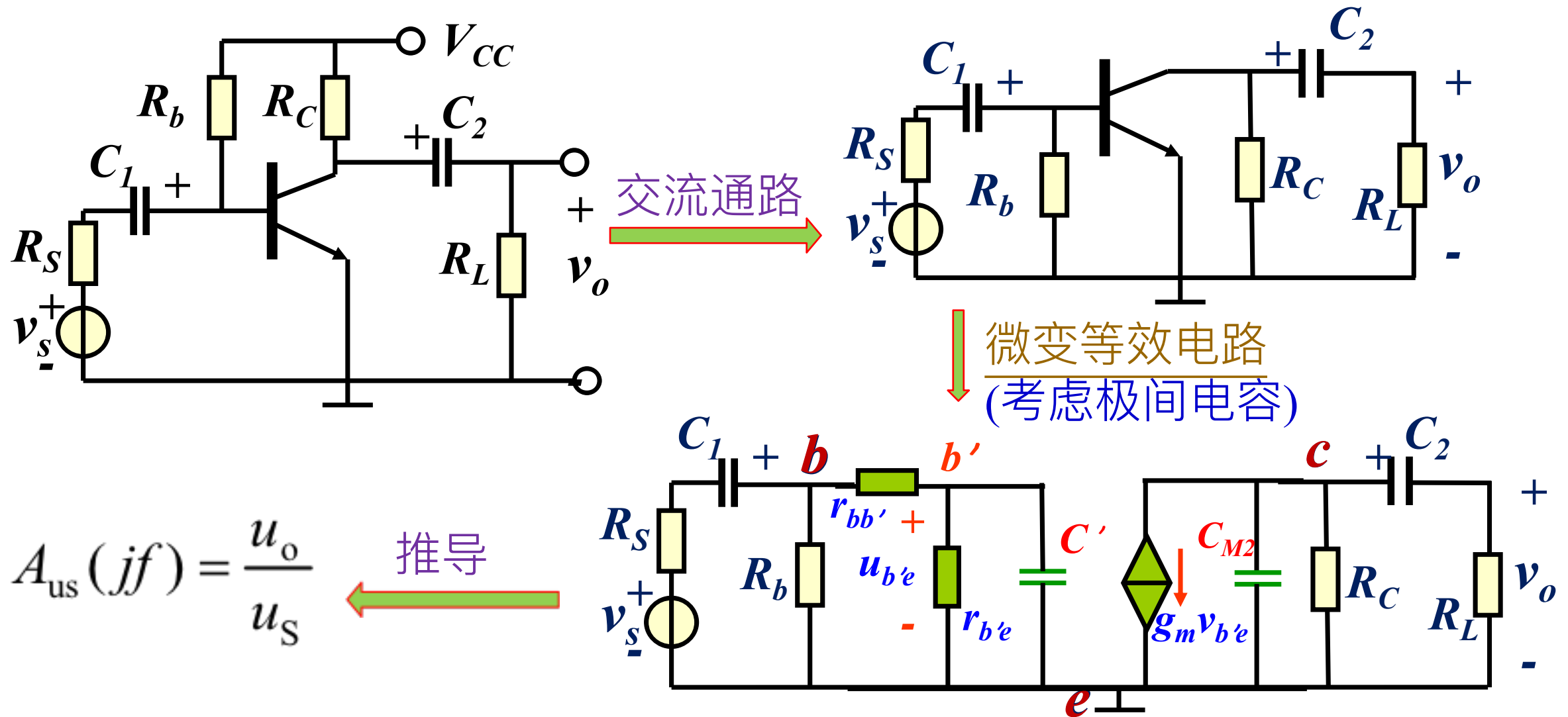
相频特性波特图



5.2、单元放大器频率特性基础

作业：P₁₂₈习题
5-4、5-5

对小信号放大器仍可用“微变等效电路”法进行分析。



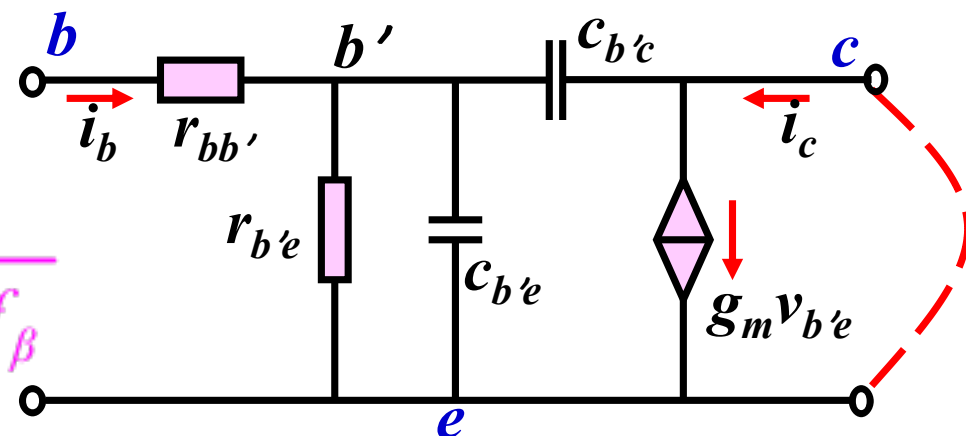
一般将输入信号的频率范围分为中频、低频和高频三个频段。根据各频段的特点对图所示等效电路进行简化，从而得到各频段的放大倍数。

三极管的频率参数

共发电路截止频率 f_β

根据定义得: $\beta(jf) = i_c / i_b \Big|_{u_{ce}=0} = \frac{\beta_o}{1 + jf / f_\beta}$

$$\text{其中 } f_\beta = \frac{1}{2\pi r_{b'e} (C_{b'e} + C_{b'c})} = f_H$$



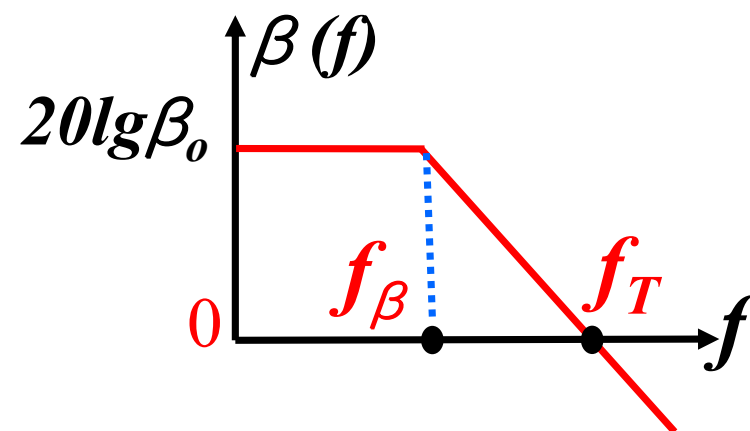
- 上限截止频率 f_β : 当 β 的幅值(dB数)下降 (3dB)时对应的频率
- 特征频率 f_T : 指 $\beta(f)$ (倍数) 下降到1 时, 对应的角频率。

当 $f = f_T$ 时 $\beta(f_T) = 1$

因此 $f_T \approx \beta_o f_\beta$

共基电路截止频率 f_a

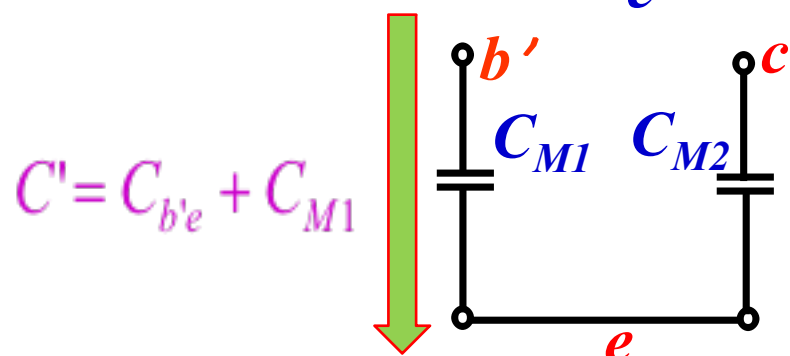
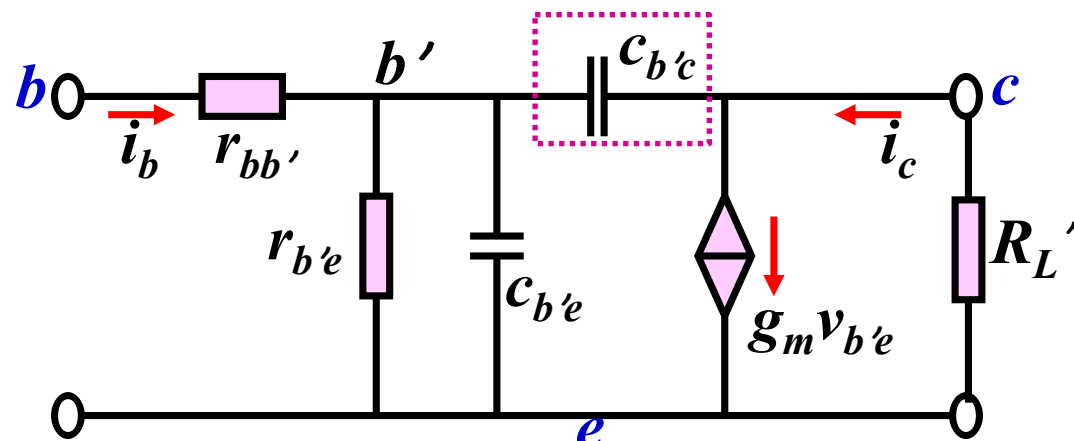
$$a(jf) = \frac{\beta(jf)}{1 + \beta(jf)} = \frac{a_o}{1 + jf / f_a} \xrightarrow{\text{推导}} f_a \approx (1 + \beta_o) f_\beta$$



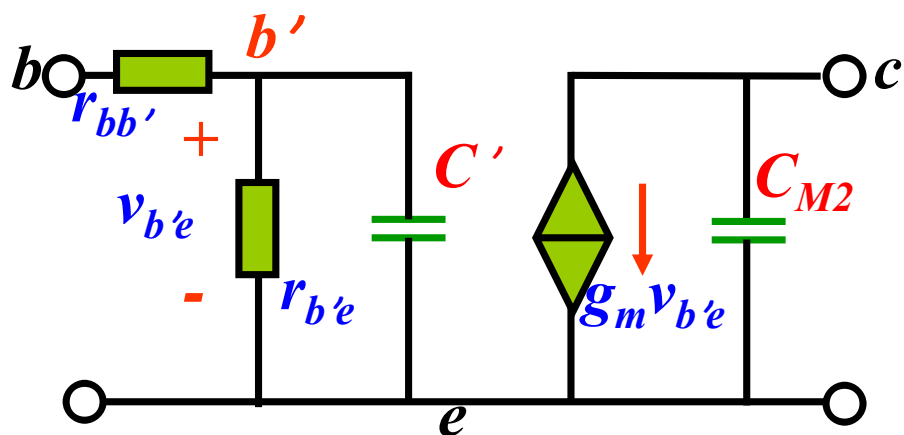
返回

混合π型小信号电路模型及其频率参数

三极管的混合(忽略 $r_{b'c}$)π电路模型:



单向化的混合π等效电路



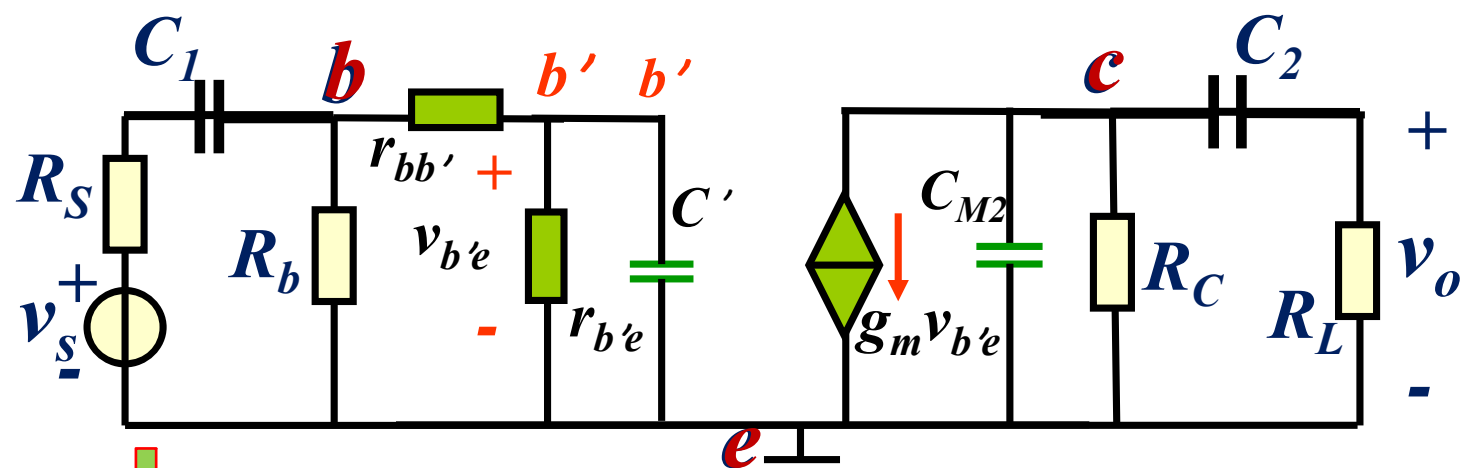
$$C_{M1} = (1 - \dot{K})C_{b'c} = (1 + g_m R_L')C_{b'c}$$

$$C_{M2} = (1 - \frac{1}{\dot{K}})C_{b'c} \approx C_{b'c}$$

$$\dot{K} = \frac{\dot{U}_{ce}}{\dot{U}_{b'e}} \approx -g_m R_L'$$

$$C' = C_{b'e} + (1 + g_m R_L')C_{b'c}$$

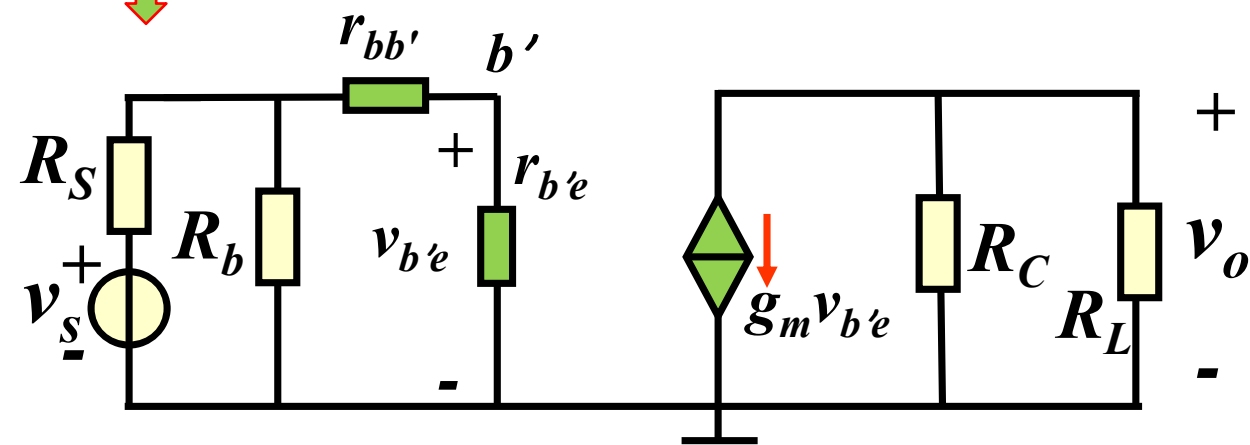
单级共发射放大电路的中频响应：中频源电压增益



$$r_{be} = r_{bb'} + r_{b'e}$$

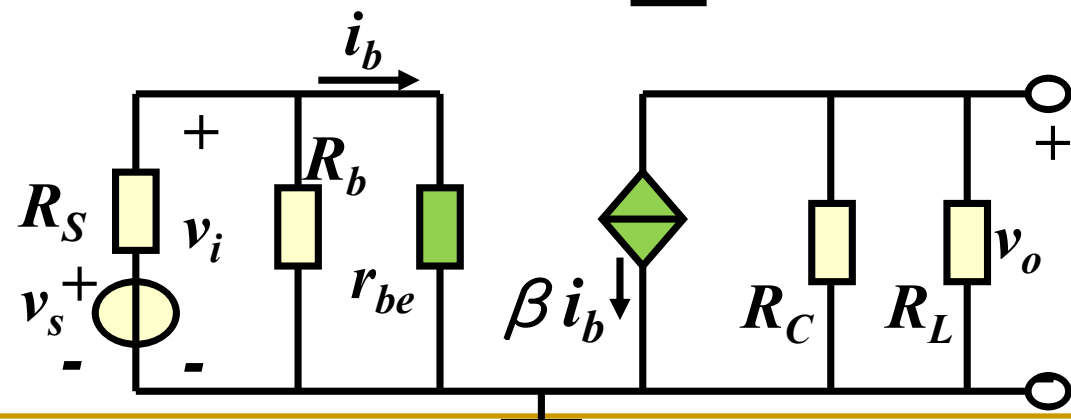
$$\beta = g_m r_{b'e}$$

中频时耦合电容（阻抗 ≈ 0 ）
管子极间电容（阻抗 $\rightarrow \infty$ ）



中频源电压增益：

$$A_{vSI} = \frac{v_o}{v_s} = - \frac{\beta(R_c // R_L)}{R_s + r_{be}}$$

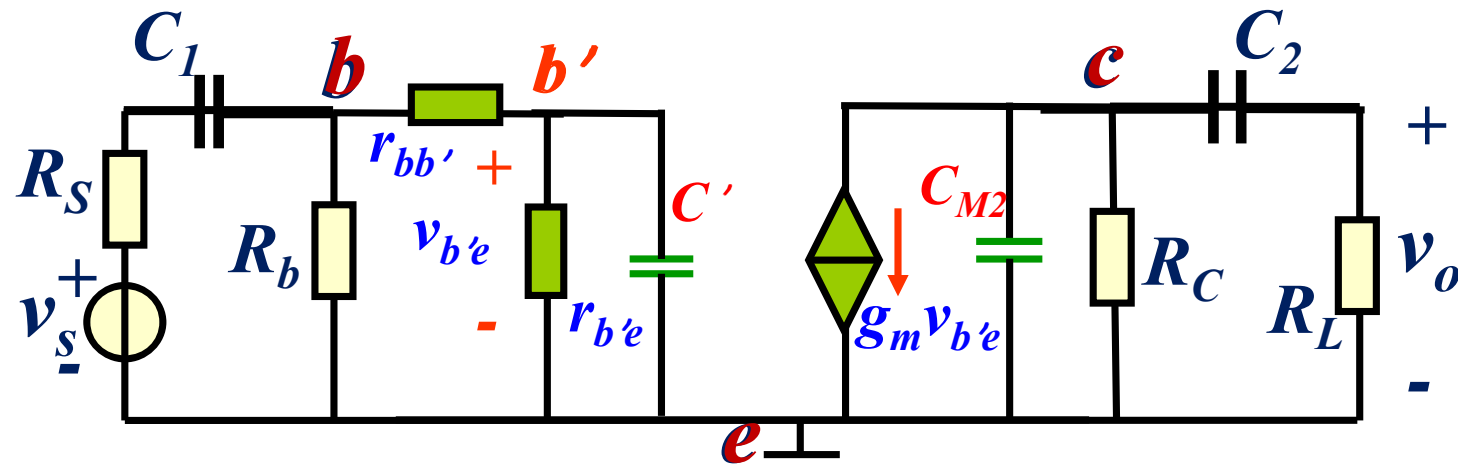


$R_b \gg (r_{bb'} + r_{b'e})$ ，可忽略

返回频响分析

高频区的频率响应和上限频率 f_H

作业: P₁₂₈习题5-5



$$f_{H2} = \frac{1}{2\pi R'_L C_{b'e}}$$

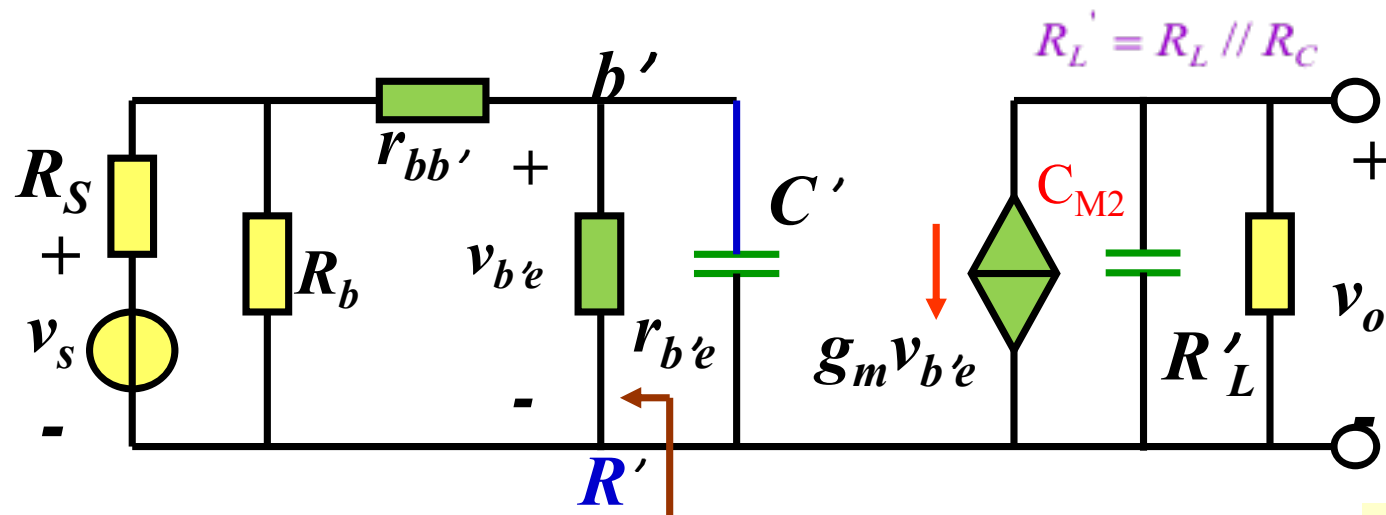
高频稳态响应函数:

$$A_{vsH}(jf) = \frac{v_o}{v_s} = \frac{A_{vsI}}{(1 + jf/f_{H1})(1 + jf/f_{H2})}$$

一般情况下: $f_{H2} \gg f_{H1}$

(即 C_{M2} 的影响可忽略) $f_H \approx f_{H1}$

$$A_{vsH}(jf) = \frac{v_o}{v_s} \approx \frac{A_{vsI}}{1 + jf/f_H}$$



$$C' = C_{b'e} + (1 + g_m R'_L) C_{b'e} \quad C_{M2} \approx C_{b'e}$$

$$R' = r_{b'e} // (r_{bb'} + R_s // R_b)$$

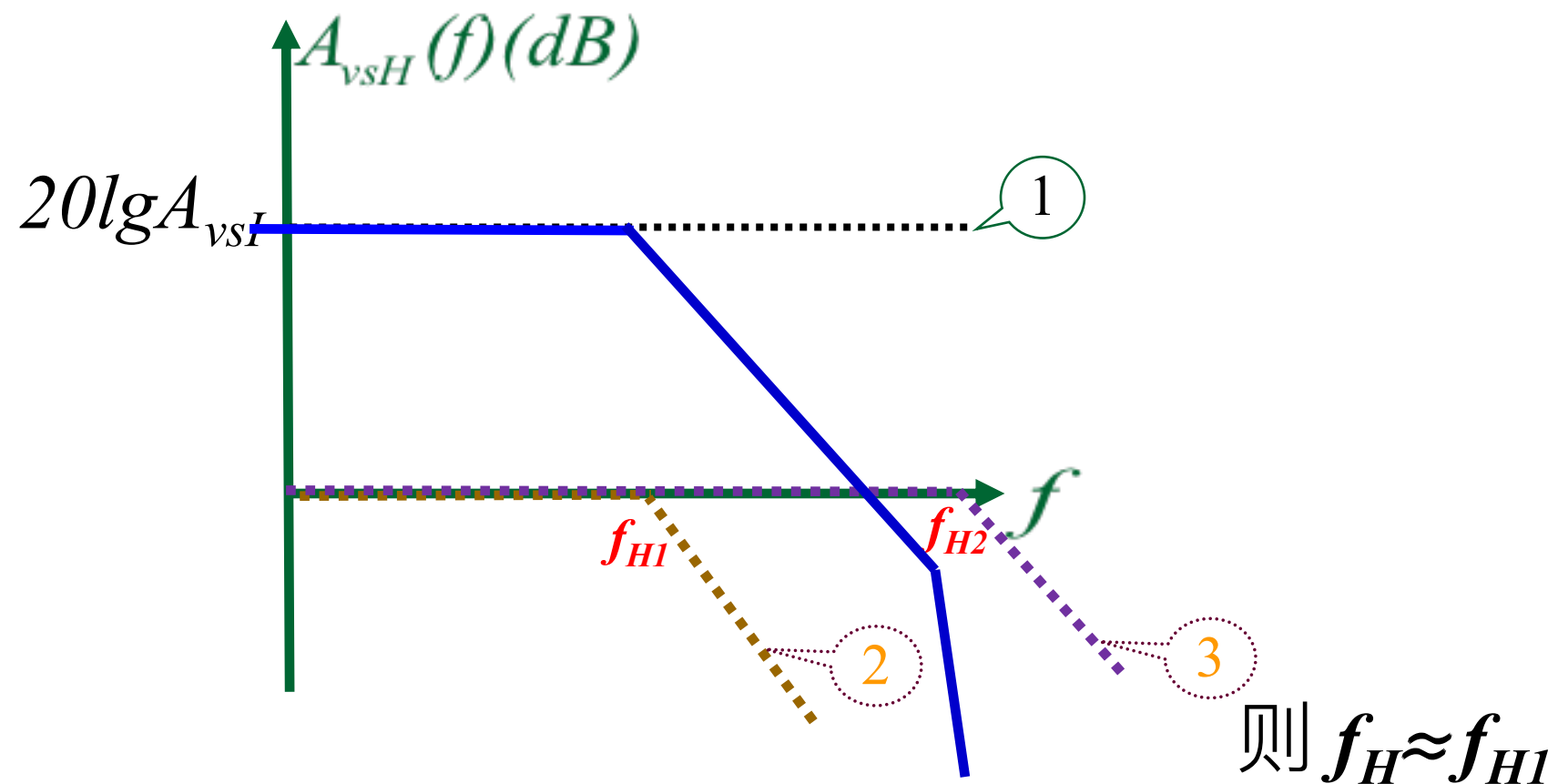
$$f_{H1} = \frac{1}{2\pi R' C'} \approx f_H$$

讨论 返回频响分析

放大器的高频响应波特图

高频稳态响应函数：

$$A_{vsH}(jf) = \frac{v_o}{v_s} = \frac{A_{vsI}}{(1 + jf/f_{H1})(1 + jf/f_{H2})}$$



讨论

$$f_{H1} = \frac{1}{2\pi R' C'}$$

$$C' = C_{b'e} + (1 + g_m R_L') C_{b'c}$$

$$R' = r_{b'e} // (r_{bb'} + R_s // R_b)$$

要 f_H 大，就要求 R' 、 C' 小，因而要求：

1) 选 $r_{bb'}$ 、 $C_{b'e}$ 、 $C_{b'c}$ 小、 f_T 高的三极管→使 $f_H \uparrow$

2) 管子选定后

❑ 采用理想电压源($R_s \rightarrow 0$)激励时， $f_H \rightarrow f_T$ (最高) 推到极限。

❑ 采用理想恒流源($R_s \rightarrow \infty$)激励时， $f_H \rightarrow f_\beta$ (最低)

提高共发电路上限频率的方法：

- ♥ 在电路输入端采用低阻节点(即 R_s 小——采用理想电压源)。
- ♥ 在电路输出端也采用低阻节点(即 R_L' 小，可与共基组合)。
- ♥ 引入负反馈扩展上限频率 f_H 。

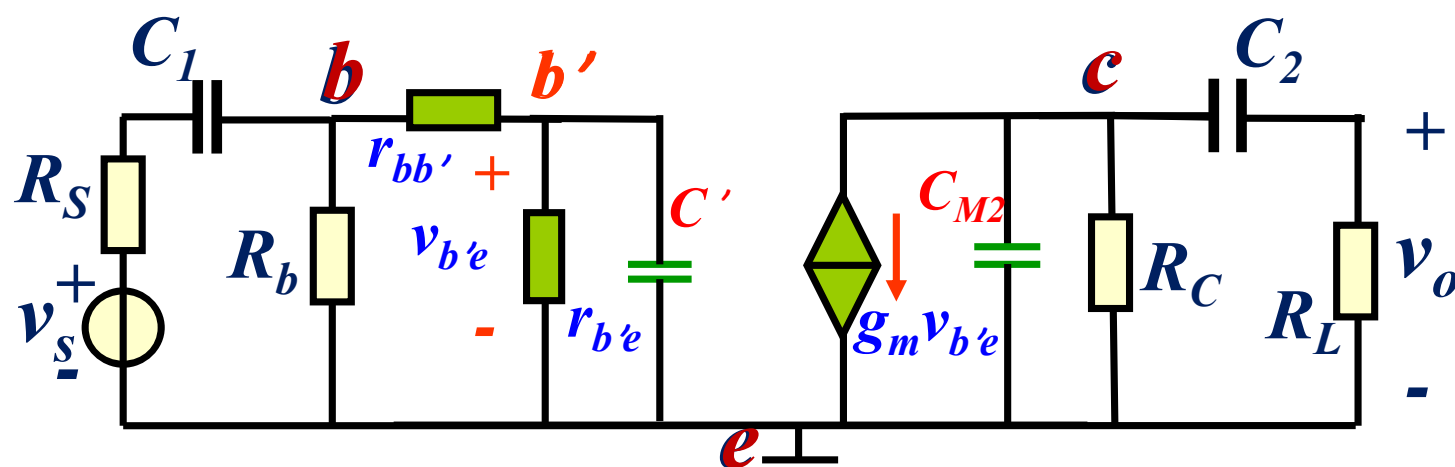
补充放大。

牺牲增益换带宽

返回高频分析

3. 低频区的频率响应和下限频率 f_L

结合P₁₂₈习题5-7

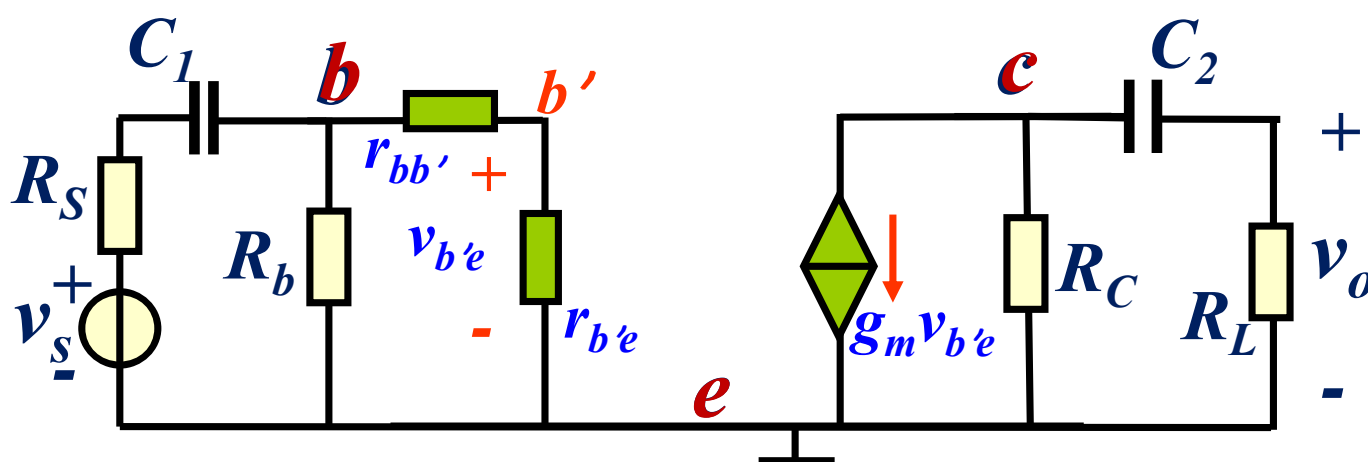


$$f_{L2} = \frac{1}{2\pi(R_C + R_L)C_2}$$

低频稳态响应函数:

$$A_{vsL}(jf) = \frac{A_{vsI}}{(1 - j f_{L1}/f)(1 - j f_{L2}/f)}$$

一般有 $f_{L1} > 5f_{L2}$ 。
则 $f_L = f_{L1}$



$$f_{L1} = \frac{1}{2\pi[R_s + (r_{be} // R_b)]C_1}$$

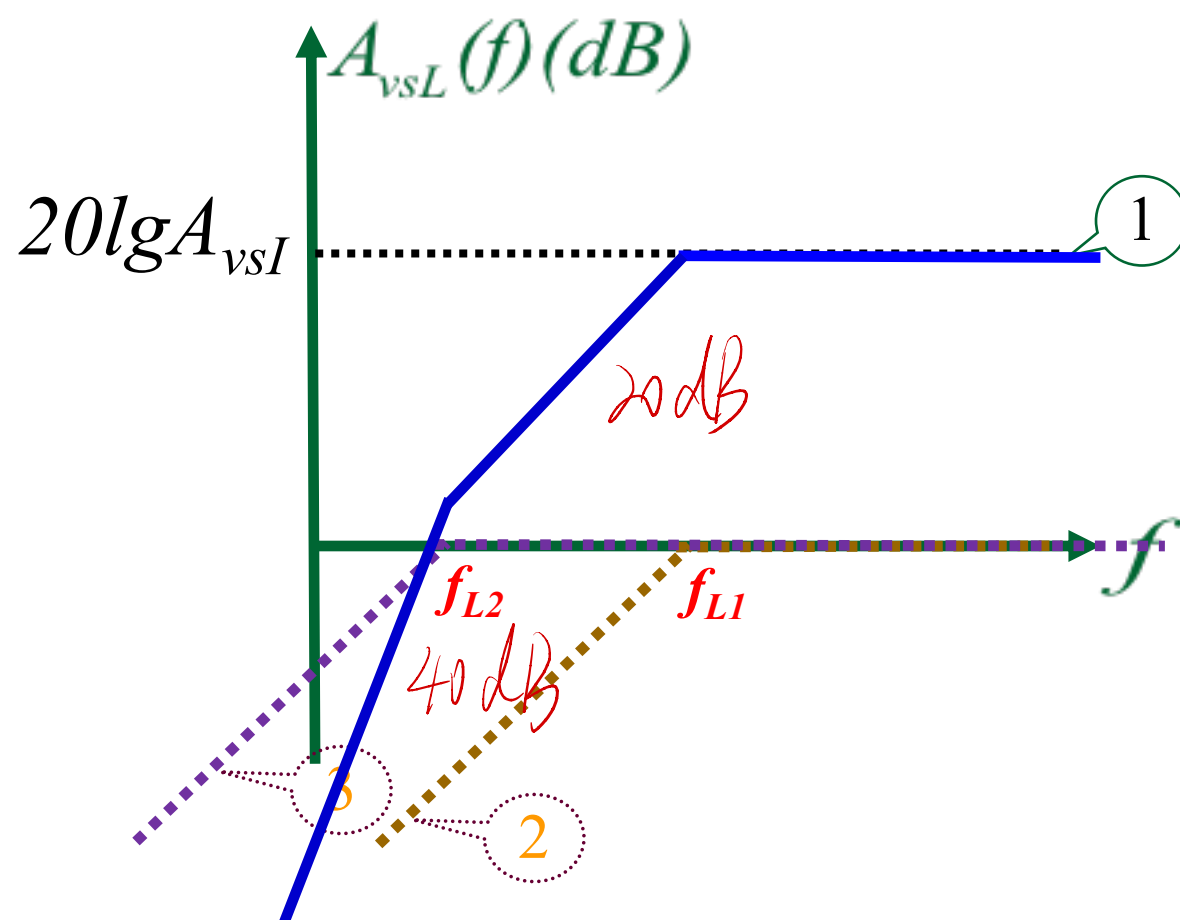
$$A_{vsL}(jf) \approx \frac{A_{vsI}}{1 - j f_L/f}$$

返回频响分析

放大器的低频响应波特图

低频稳态响应函数：

$$A_{vsL}(jf) = \frac{A_{vsI}}{(1 - j f_{L1}/f)(1 - j f_{L2}/f)} = A_{vsI} \cdot \frac{1}{1 - j f_{L1}/f} \cdot \frac{1}{1 - j f_{L2}/f}$$



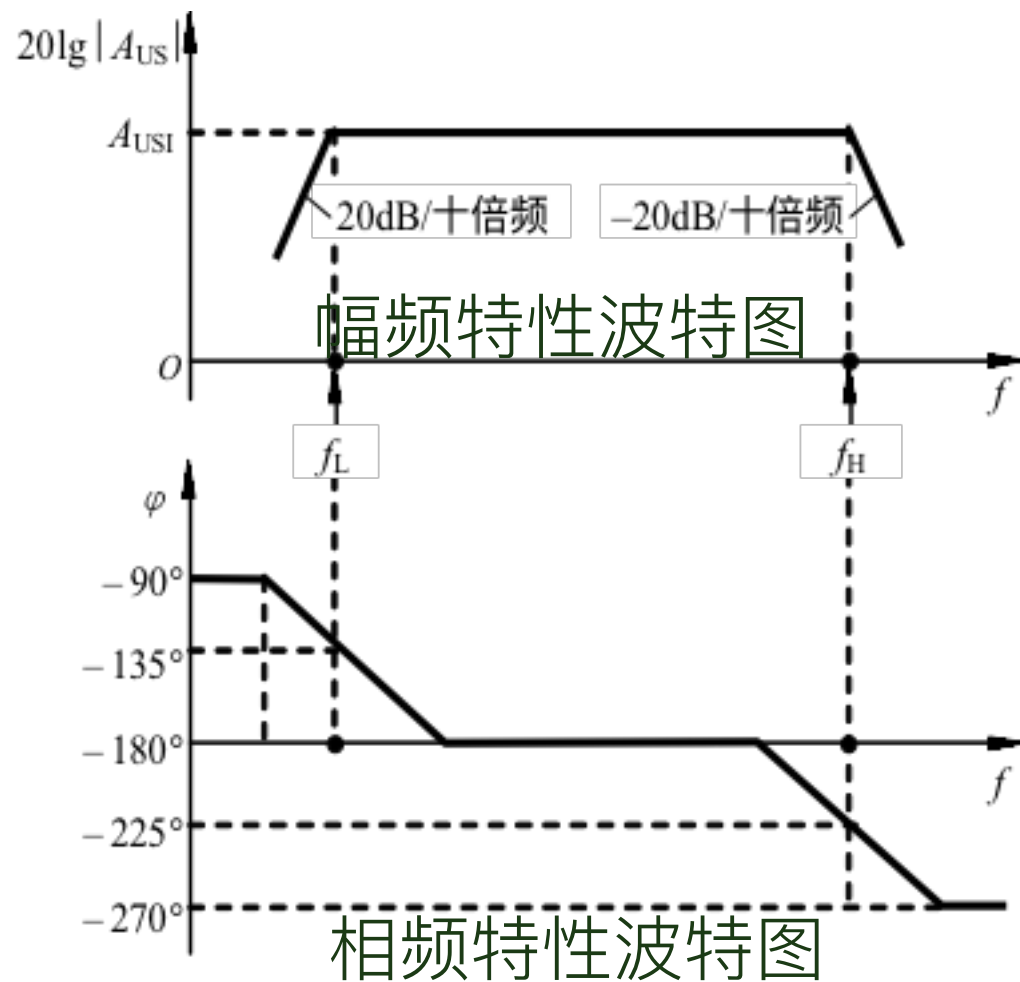
则 $f_L \approx f_{L1}$

返回

4. 完整的频率特性波特图及增益带宽积

综上所述，共发射放大电路的频率特性表达式为：

$$\dot{A}_{vs} \approx \dot{A}_{vsI} \cdot \frac{1}{1 - j(f_L / f)} \cdot \frac{1}{1 + j(f / f_H)}$$



共射放大电路的频率响应图

□ 共发电路增益带宽积 GBW

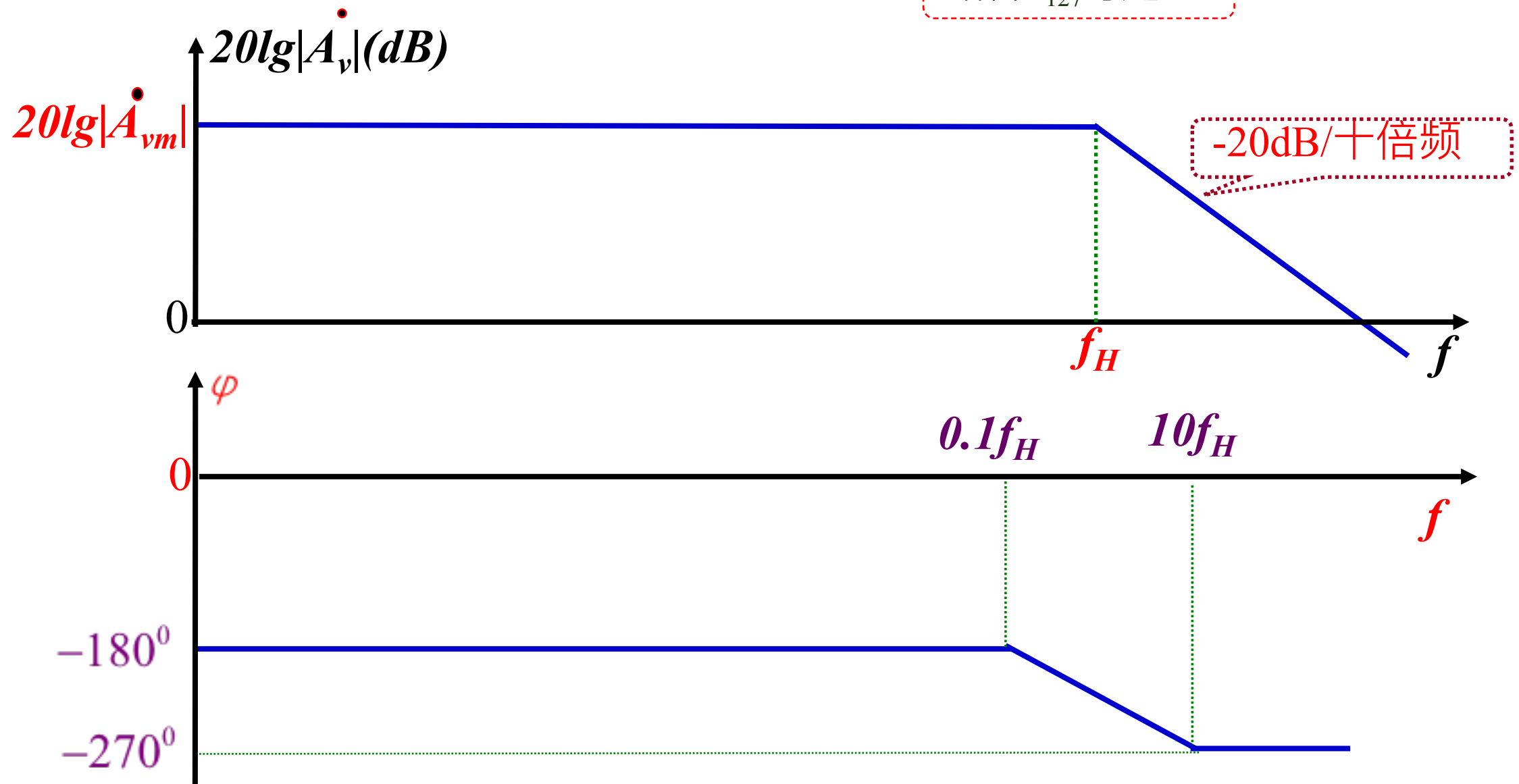
$$\begin{aligned} GBW &= |A_{usI} \cdot B| \approx |A_{usI} \cdot f_H| \\ &= \left| -\frac{\beta R'_L}{R_s + r_{bb'} + r_{b'e}} \cdot \frac{1}{2\pi R_t C_t} \right| \\ &= \frac{\omega_T}{2\pi(1 + \omega_T R'_L C_{b'c})} \cdot \frac{R'_L}{R_s + r_{bb'}} \end{aligned}$$

1) 选 $r_{bb'}$ 和 $C_{b'c}$ 小、 ω_T 高的三极管 → 使 GBW ↑。

2) $R'_L \downarrow \rightarrow \omega_H \uparrow$ ，但 $A_{usI} \downarrow$ 。
需兼顾两者。

5.直接耦合单管共射放大电路的频率响应

结合P₁₂₇习题5-3



直接耦合单管共射放大电路的波特图
低频特性好

6、共基、共集放大电路的频率特性

共集放大电路的上限截止频率： $\omega_H \approx \omega_T \approx \beta\omega_\beta$

共基放大电路的上限截止频率： $\omega_H \approx \omega_a \approx (1 + \beta)\omega_\beta$

结论：

电压放大

三种组态电路中，共基电路频率特性最好、共发最差。

电子设备中，为改善电路频率响应，常要求放大器具有很高的上限频率（几MHz~几千MHz）。

扩展上限频率的方法：

❑改进集成工艺，通过提高管子特征频率 f_T 扩展 f_H 。

❑利用组合电路扩展上限频率 f_H 。

❑利用电流模技术扩展上限频率 f_H 。

❑在放大电路中引入负反馈扩展上限频率 f_H 。

5.4、多级放大电路的频率响应

结合P₁₂₈习题5-6

多级放大电路总的电压放大倍数是各级电压放大倍数之积。

$$\dot{A}_v = \dot{A}_{v1} \cdot \dot{A}_{v2} \cdots \dot{A}_{vn} = |\dot{A}_v| e^{j\varphi} = |\dot{A}_{v1}| e^{j\varphi_1} |\dot{A}_{v2}| e^{j\varphi_2} \cdots$$

$$20\lg|\dot{A}_v| = 20\lg|\dot{A}_{v1}| + 20\lg|\dot{A}_{v2}| + \cdots + 20\lg|\dot{A}_{vn}| = \sum_{k=1}^n 20\lg|\dot{A}_{vk}|$$

即多级放大电路总增益的dB数为是各级增益dB数之和。

多级放大电路总相位为各级相位之和： $\varphi = \varphi_1 + \varphi_2 + \cdots + \varphi_n = \sum_{k=1}^n \varphi_k$

$$f_L \approx 1.1 \sqrt{f_{L1}^2 + f_{L2}^2 + \cdots + f_{Ln}^2}$$

主要由大的来决定

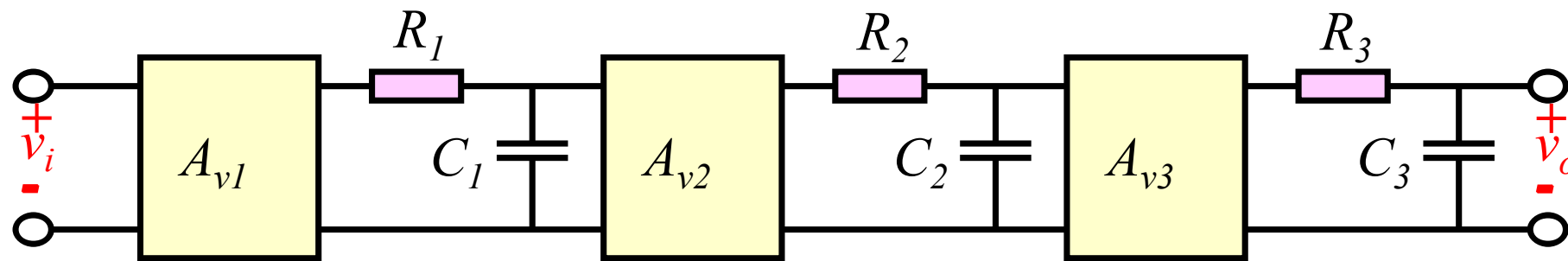
$$\frac{1}{f_H} \approx 1.1 \sqrt{\frac{1}{f_{H1}^2} + \frac{1}{f_{H2}^2} + \cdots + \frac{1}{f_{Hn}^2}}$$

主要由小的来决定

应用举例

多级放大电路的频率响应举例

如图所示的三级理想电压放大器， $R_i \rightarrow \infty$ ， $R_o \rightarrow 0$ 。
试画渐近波特图，并求 ω_H 。已知 $R_1 C_1 > R_2 C_2 > R_3 C_3$ 。



利用 RC 低通电路分析结果，得传递函数表达式：

$$A_v(j\omega) = \frac{A_{vI}}{(1 + j\omega/\omega_{H1})(1 + j\omega/\omega_{H2})(1 + j\omega/\omega_{H3})}$$

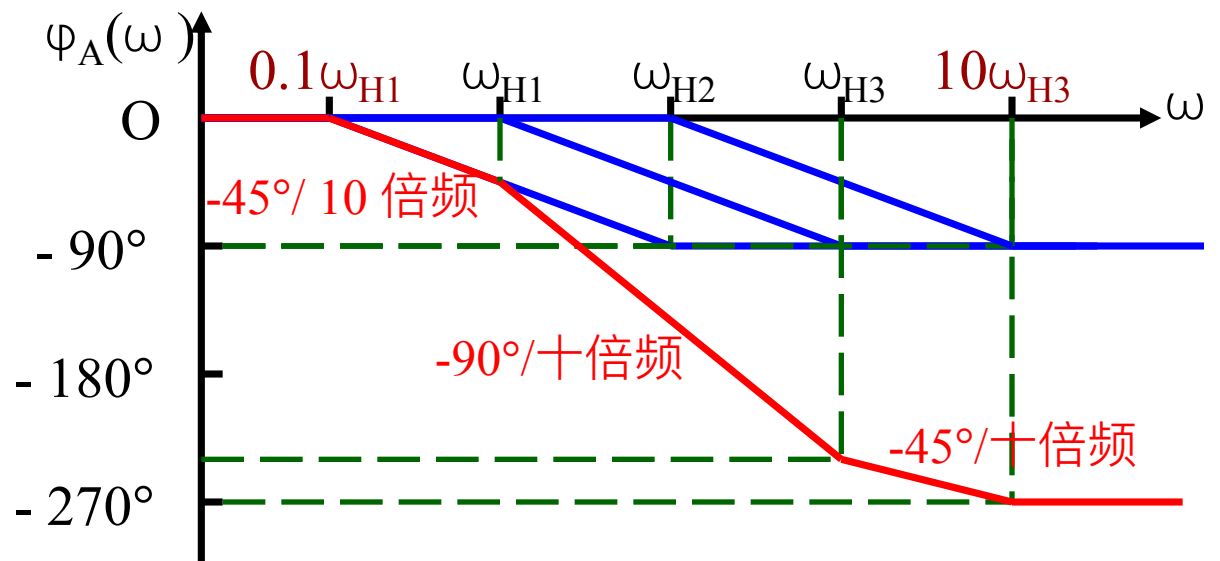
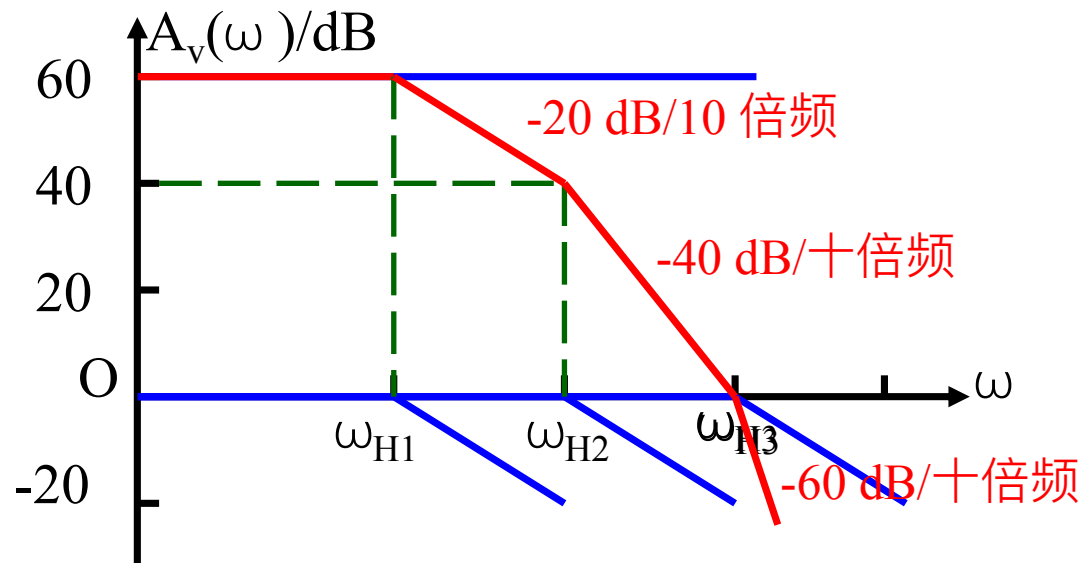
式中 $\omega_{H1} = \frac{1}{R_1 C_1}$ $\omega_{H2} = \frac{1}{R_2 C_2}$ $\omega_{H3} = \frac{1}{R_3 C_3}$ $A_{vI} = A_{v1} \cdot A_{v2} \cdot A_{v3}$

幅频及相频表达式：均为单阶因子波特图的叠加。

$$A_v(\omega)|_{dB} = 20\lg A_{vI} - 20\lg \sqrt{1 + \left(\frac{\omega}{\omega_{H1}}\right)^2} - 20\lg \sqrt{1 + \left(\frac{\omega}{\omega_{H2}}\right)^2} - 20\lg \sqrt{1 + \left(\frac{\omega}{\omega_{H3}}\right)^2}$$
$$\varphi_A(\omega) = -\arctan \omega/\omega_{H1} - \arctan \omega/\omega_{H2} - \arctan \omega/\omega_{H3}$$

波特图及上、下限频率的分析

假设 $A_{v1} = 60 \text{ dB}$
 设 $\omega_{H3} = 10\omega_{H2} = 100\omega_{H1}$



确定上限角频率: $A_v(\omega_H) = \frac{A_{v1}}{\sqrt{[1 + (\omega_H/\omega_{H1})^2][1 + (\omega_H/\omega_{H2})^2][1 + (\omega_H/\omega_{H3})^2]}} = \frac{A_{v1}}{\sqrt{2}}$
 由定义知:当 $\omega = \omega_H$ 时

整理得到:
$$\omega_H \approx \frac{1}{1.1\sqrt{1/\omega_{H1}^2 + 1/\omega_{H2}^2 + 1/\omega_{H3}^2}}$$

若 $\omega_{H2} \geq 4\omega_{H1}$, 则称 ω_{H1} 为主极点, ω_{H2} 、 ω_{H3} 为非主极点。

上限角频率取决于主极点角频率:

同理可得多级电路的下限角频率:

若有: $\omega_{L1} \gg \omega_{L2}, \dots, \omega_{Ln}$

$\omega_H \approx \omega_{p1}$ 由小的来决定

$$\omega_L \approx 1.1\sqrt{\omega_{L1}^2 + \omega_{L2}^2 + \dots + \omega_{Ln}^2} \approx \omega_{L1}$$

结合P₁₄₃页习题3-9讲
解

由大的来决定